

# DETECTORES DE RADIAÇÃO

---

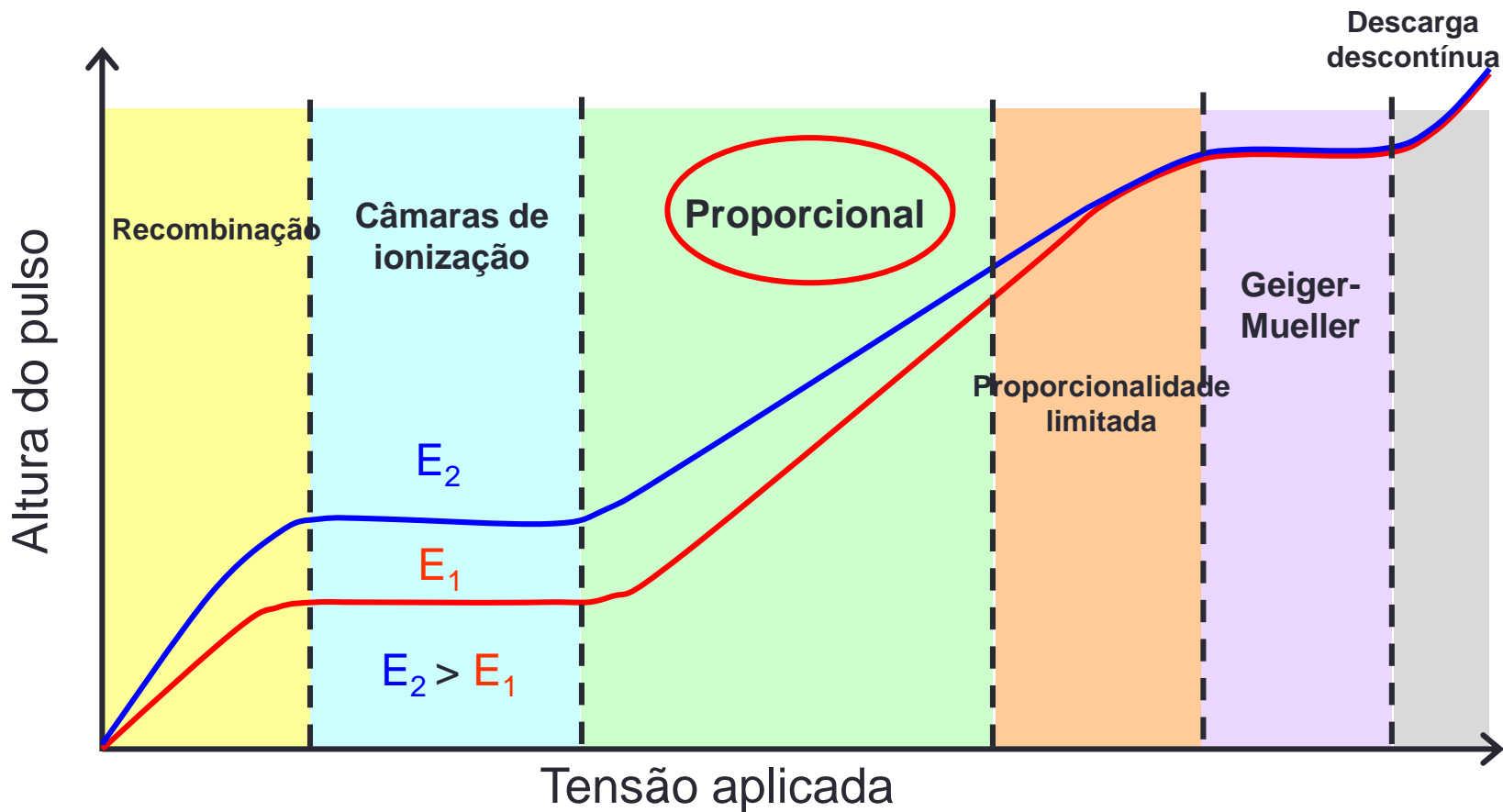
**PARTE 2**

***PAULO R. COSTA***

# DETECTORES PROPORCIONAIS

---

# Contadores proporcionais



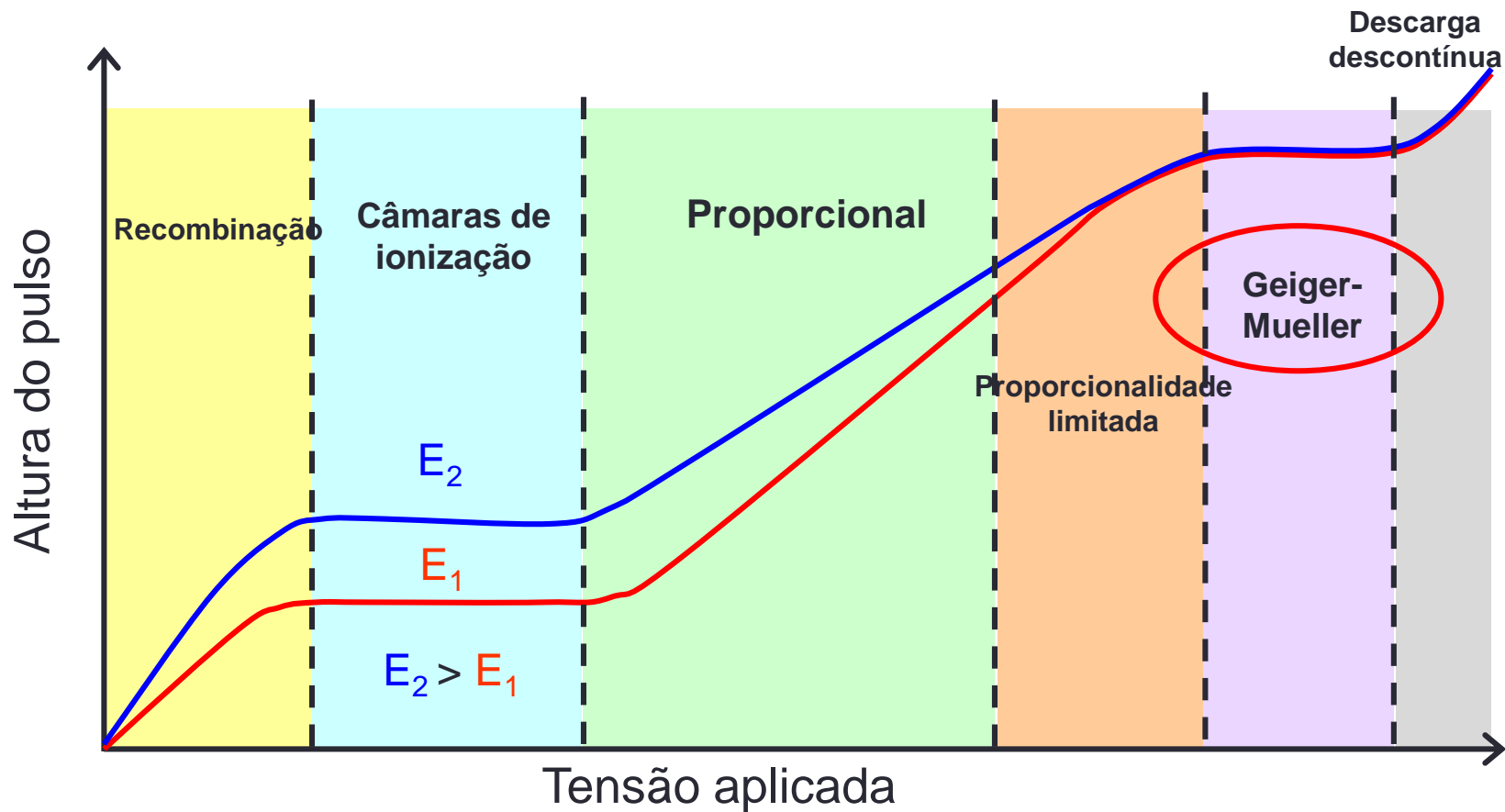
# Contadores proporcionais

- Opera na região de multiplicação
  - Diferença de potencial aumenta a energia dos elétrons
    - Multiplicação das cargas
    - Fator constante a cada DDP
- Sensibilidade maior que das câmaras de ionização
- Variação do sinal para pequenas variações na tensão de alimentação

# CONTADORES GEIGER-MÜLLER

---

# Contadores Geiger-Müller



# Contadores Geiger-Müller

- Uma única ionização no gás
  - Avalanche de ionizações
  - Sinal único independente da energia liberada no meio
- Em geral mistura de 2 gases
  - Gás nobre
  - Gás de extinção (*quenching*)
    - Pequena proporção
    - Ajuda na extinção da descarga produzida
    - Moléculas grandes que neutralizam os íons positivos



# Contadores Geiger-Müller

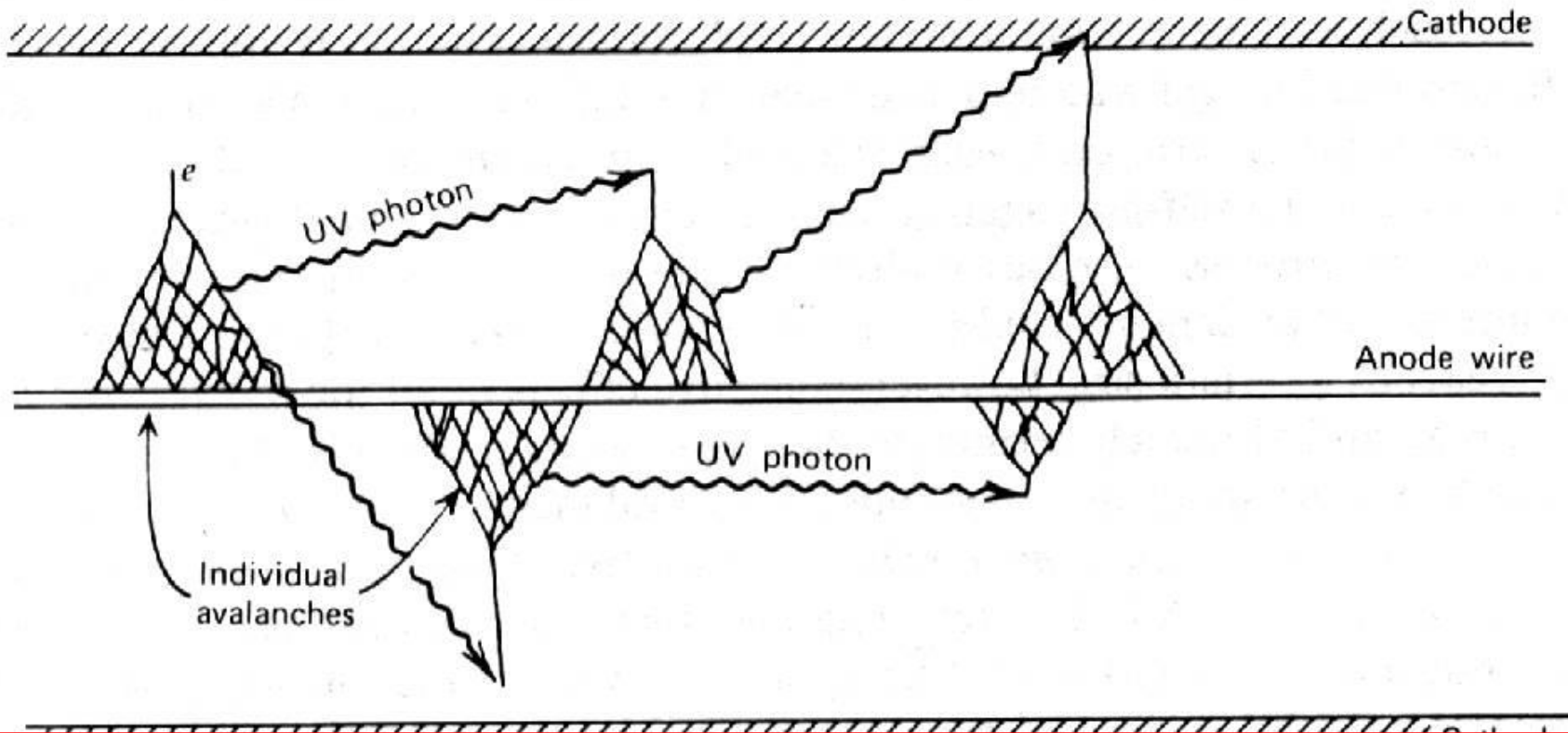
- Detector mais popular
  - Usado em proteção radiológica
  - Robusto e simples de utilizar
- Limitações
  - Tempo de resposta longo
    - Impede o uso em radiologia em geral
  - Não distingue o tipo ou a energia da radiação



# Contadores Geiger-Müller

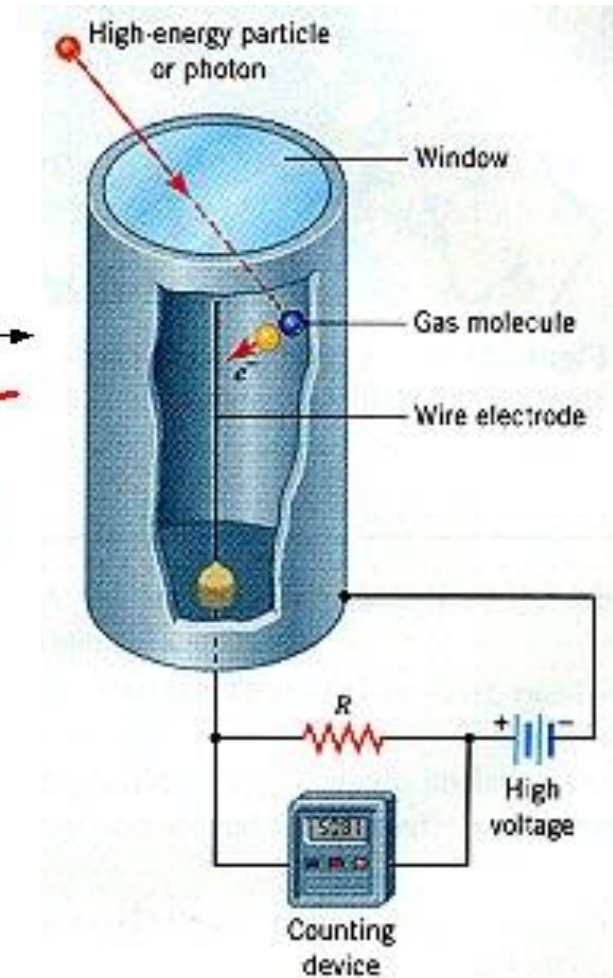
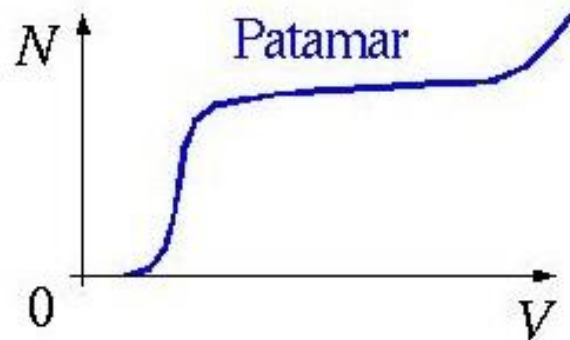
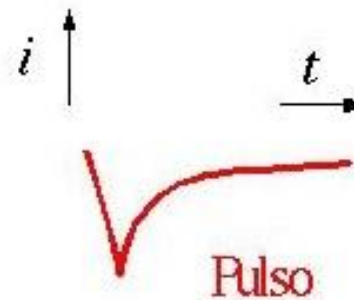
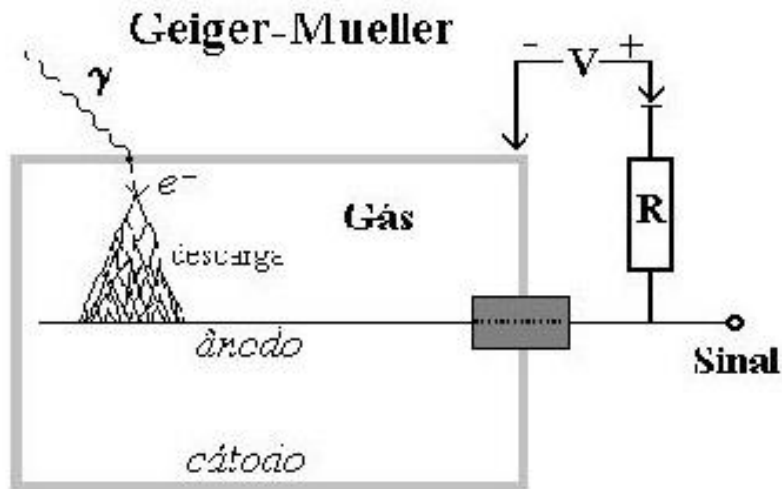
- Princípio de funcionamento
  - Avalanche de Townsend
    - Pode ser gerada por um único evento
    - Formação de moléculas excitadas do gás pela colisão com elétrons e íons secundários
    - Retorno ao estado fundamental com emissão visível ou UV
    - Reabsorção fotoelétrica dos fótons visível/UV
      - No gás
      - No catodo
    - Reinício do processo em avalanche

# Contador Geiger-Mueller



Avalanche de Townsend

# Contador Geiger-Müller

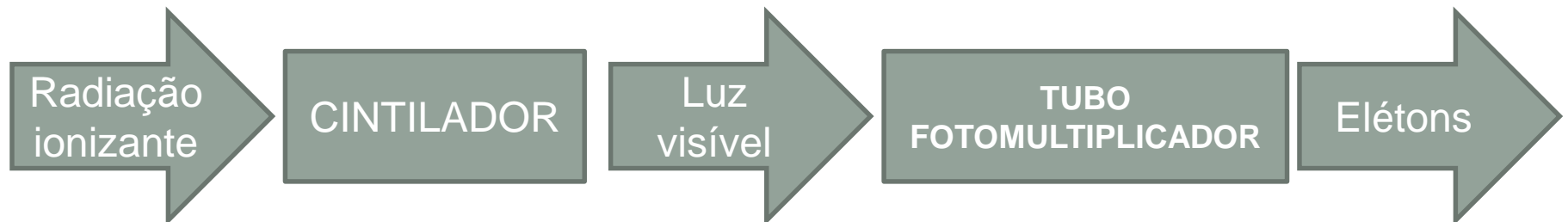


# DETECTORES CINTILADORES/SEMICONDUCTORES

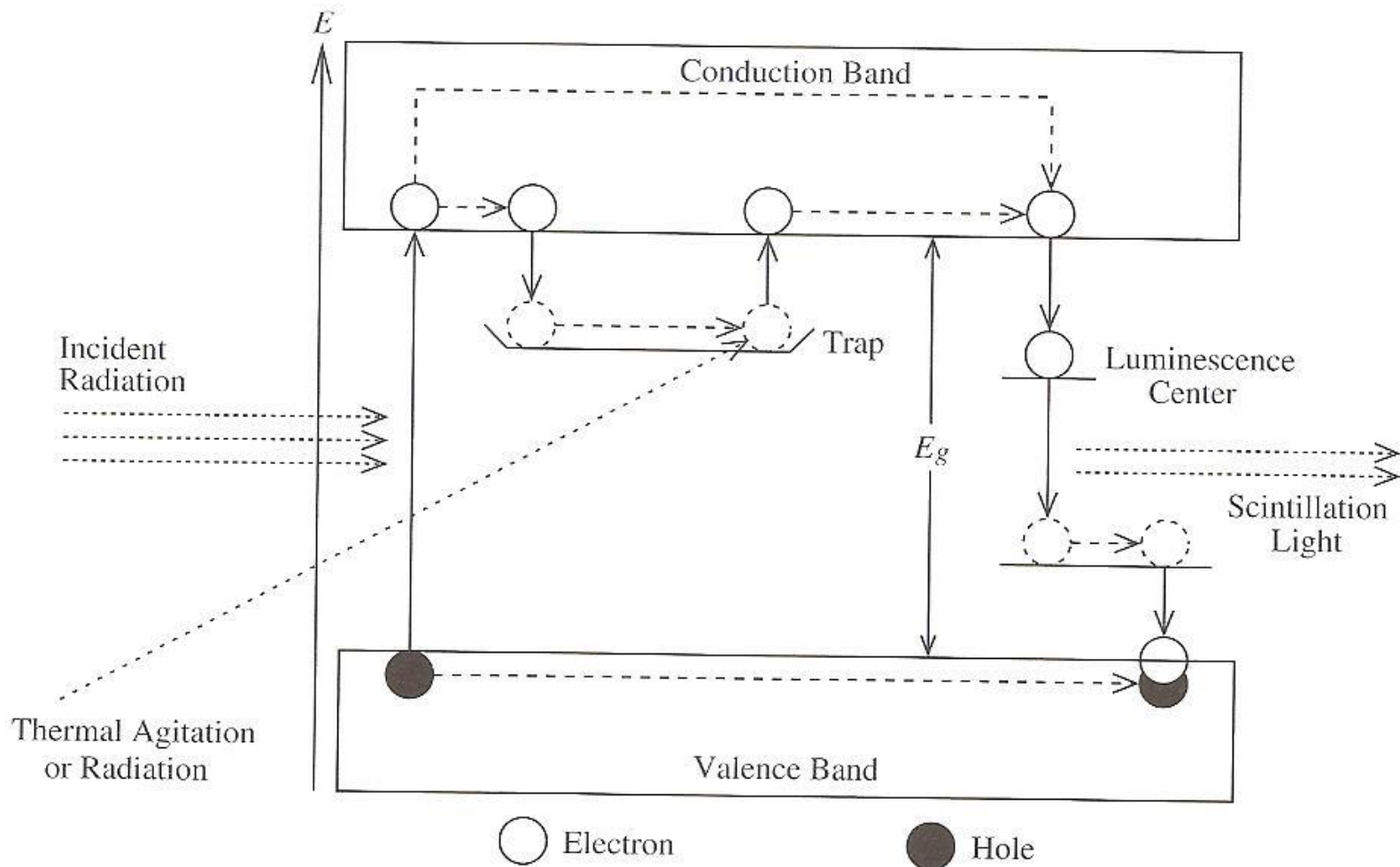
---

# Detectores Cintiladores

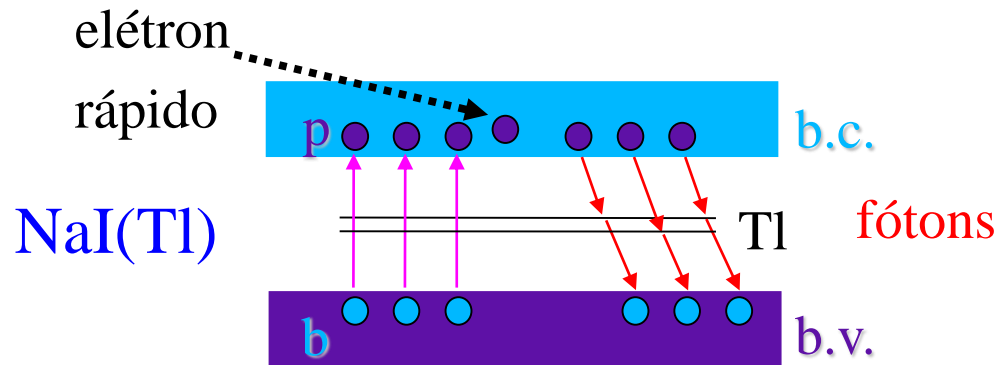
- Discriminação da energia dos fótons
  - Hartmut Kallmann – 1948
  - Emissão de luz por um cristal
    - Intensidade da luz proporcional à energia
- Categorias
  - Orgânicos
  - Inorgânicos



# Mecanismo de cintilação



# O cintilador de NaI(Tl)



## NaI(Tl)

Iodeto de Sódio dopado com Tálho

Gap:  $\approx 7$  eV

Energia média por fóton: 3 eV

Produção de luz: 38 fótons de luz por keV

# Eficiência na produção de luz

- Parâmetro mais importante
- Em geral, muito baixa
- Quantificada em fótons/MeV de radiação absorvida
- Dependência
  - Material do cintilador
  - Tipo de partícula incidente
  - Energia das partículas
  - Temperatura

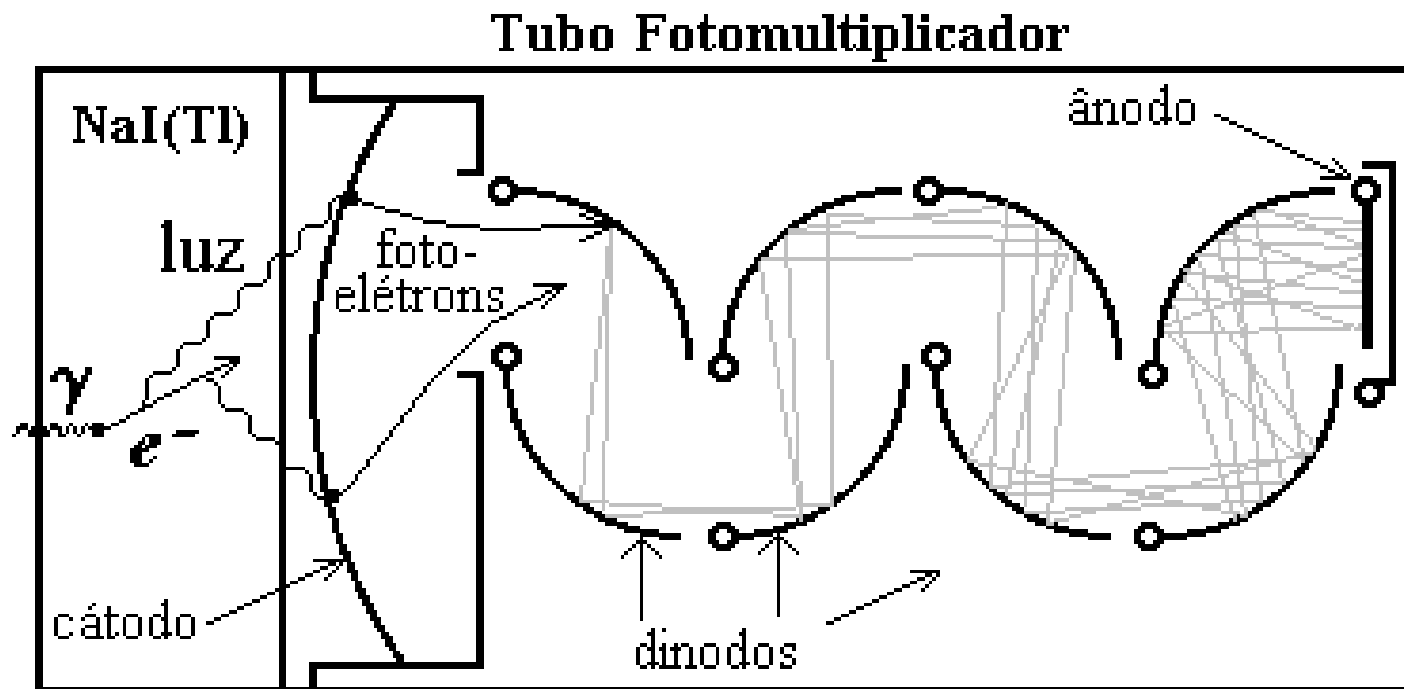
# Eficiência de detecção - cintiladores

**Eficiência na qual a energia perdida pela partícula incidente é convertida em fótons de cintilação**

$$\eta = \frac{\textit{energia total dos fótons de cintilação}}{\textit{energia depositada pela radiação incidente}} = \frac{E_s}{E_i}$$

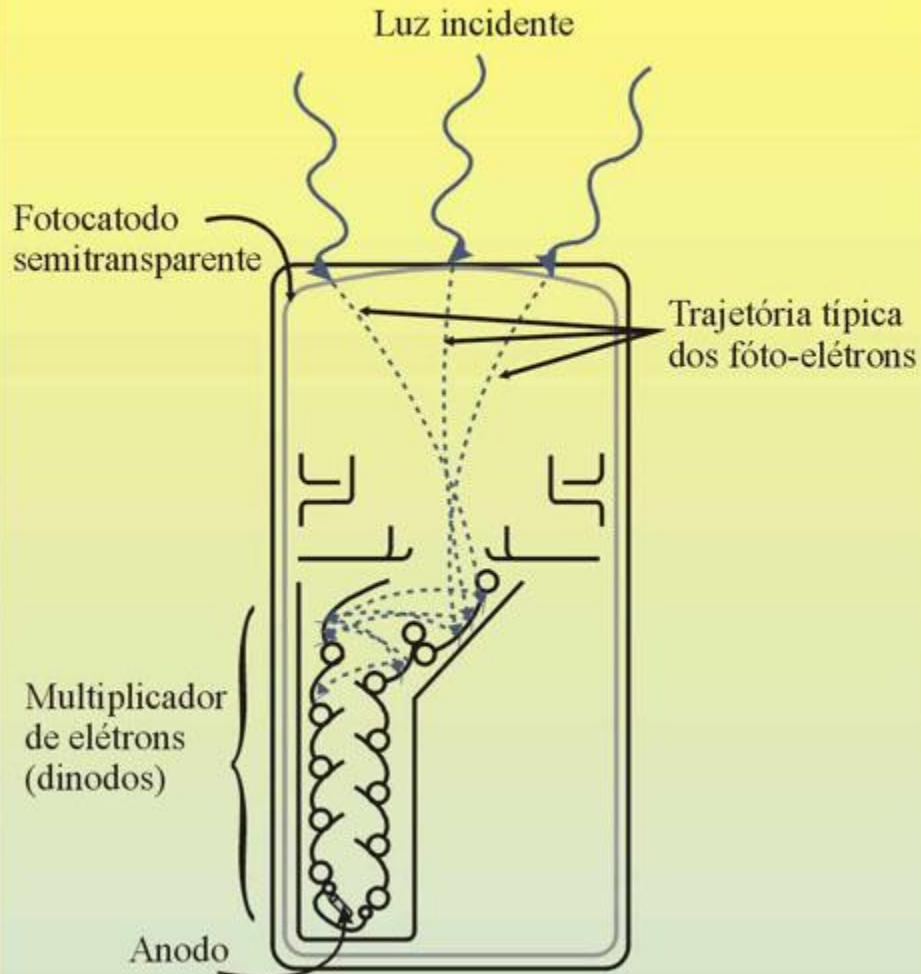
**Processo complexo e de múltiplos passos !**

# O Tubo fotomultiplicador



**Fator de multiplicação típico  $\rightarrow 10^6$**

# A FOTOMULTIPLICADORA



Material do fotocátodo deve apresentar baixa função de trabalho (1.5 a 2.0 eV)

(K-Cs, Na-K)

$\Delta V \sim 100V$  (por dinodo)

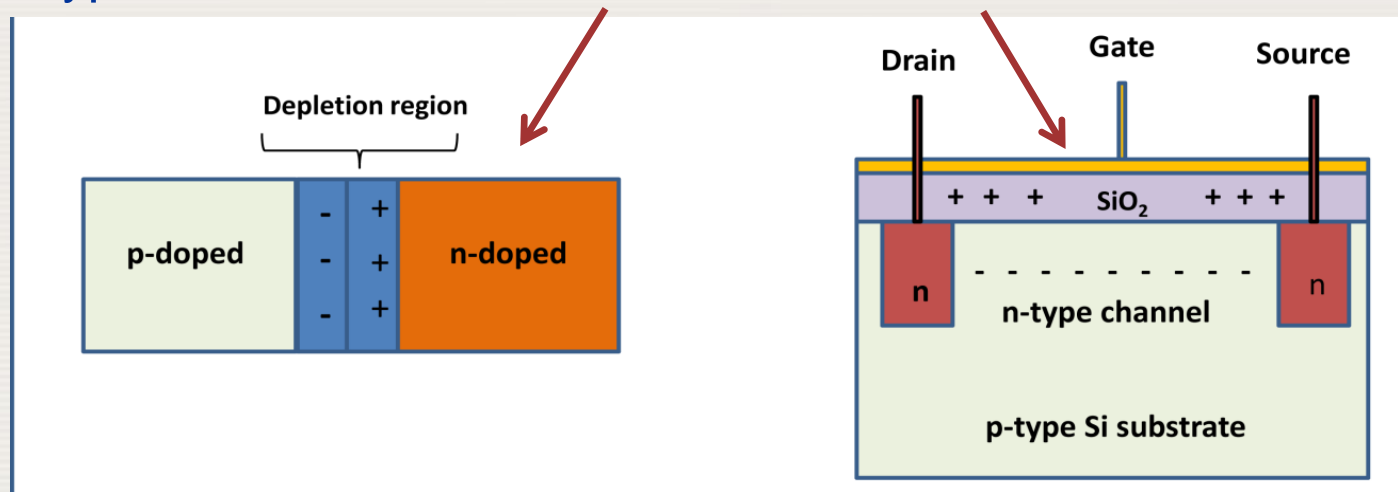
## *Características principais*

- *Ganho da fotomultiplicadora  $\sim 5^N = 10^7$   
N é o número de estágios de multiplicação.*
- *Características temporais dos cintiladores.*  
*Tempo de decaimento*  
*Orgânicos: alguns ns*  
*Inorgânicos : centenas de ns*
- *A fotomultiplicadora é sensível a campos magnéticos.*

## 21.4. SEMICONDUCTOR DOSIMETERS

Diagnostic radiology dosimeters based on semiconductor technology have found wide spread use

Two types are used: **silicon diodes** or **MOSFETs**

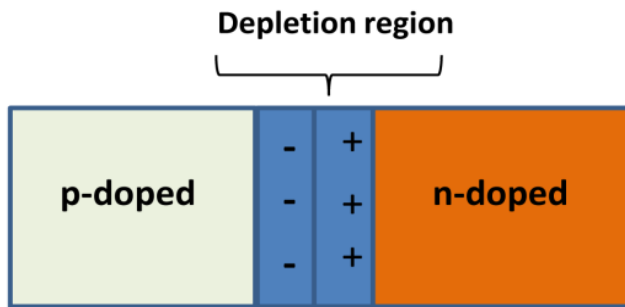


- Due to their **small size** and **rigidness**, they are convenient for use in many applications
- **MOSFETs** often require a connection to a bias voltage during irradiation
- They are mainly used in **patient dosimetry**

## 21.4. SEMICONDUCTOR DOSIMETERS

### 21.4.1. Theory of operation

A **silicon diode dosimeter** is a p–n junction diode. In most cases p–type (rather than n-type) diodes are used for **diagnostic radiology dosimeters**, since they are less affected by radiation damage and have a much smaller dark current (noise)

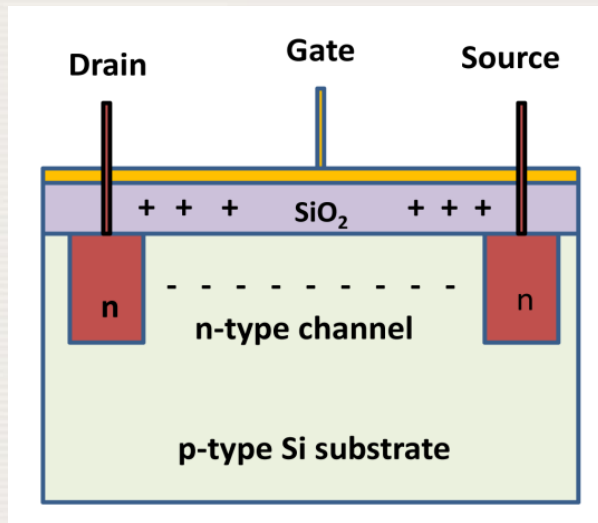


- When **radiation** falls on the diode, it produces **electron–hole pairs** in the body of the diode and a current, is generated in the reverse direction in the diode
- The **number of such pairs** is proportional to the incident **radiation dose**
- Due to the diode structure and the intrinsically formed potential difference, there is no need to apply a bias voltage across the p and n type diode regions to collect the charge liberated by the radiation

# 21.4. SEMICONDUCTOR DOSIMETERS

## 21.4.1. Theory of operation

A metal-oxide semiconductor field effect transistor (**MOSFET**), is a **miniature silicon transistor**. Its structure is equivalent to a planar capacitor with one of the electrodes replaced by a semiconductor



- When **MOSFET dosimeters** are exposed to radiation, **electron-hole pairs** are produced in the  $\text{SiO}_2$ . The positive charge carriers move in the direction of Si -  $\text{SiO}_2$  interface, where they are trapped, building up a positive charge, which causes changes to the current in the n-type channel and leads to change of the gate bias voltage
- The gate bias voltage change is a **linear function** of **absorbed dose**. The integrated dose may be measured in real time or after irradiation

## 21.4. SEMICONDUCTOR DOSIMETERS

### 21.4.2. Application hints for semiconductors

The following practical points should be considered:

- The **response of diodes and MOSFETs** generally has a more pronounced **energy dependence** than that of ionization chambers

The user should investigate the dosimeter's energy dependence characteristics. In this respect, measurements of the HVL with semiconductor detectors should be avoided

- The **angular dependence of semiconductor detectors** is comparable to that of plane parallel ionization chambers  
However, semiconductor detectors are sensitive to their positioning in the X ray field, especially to the direction of the heel effect

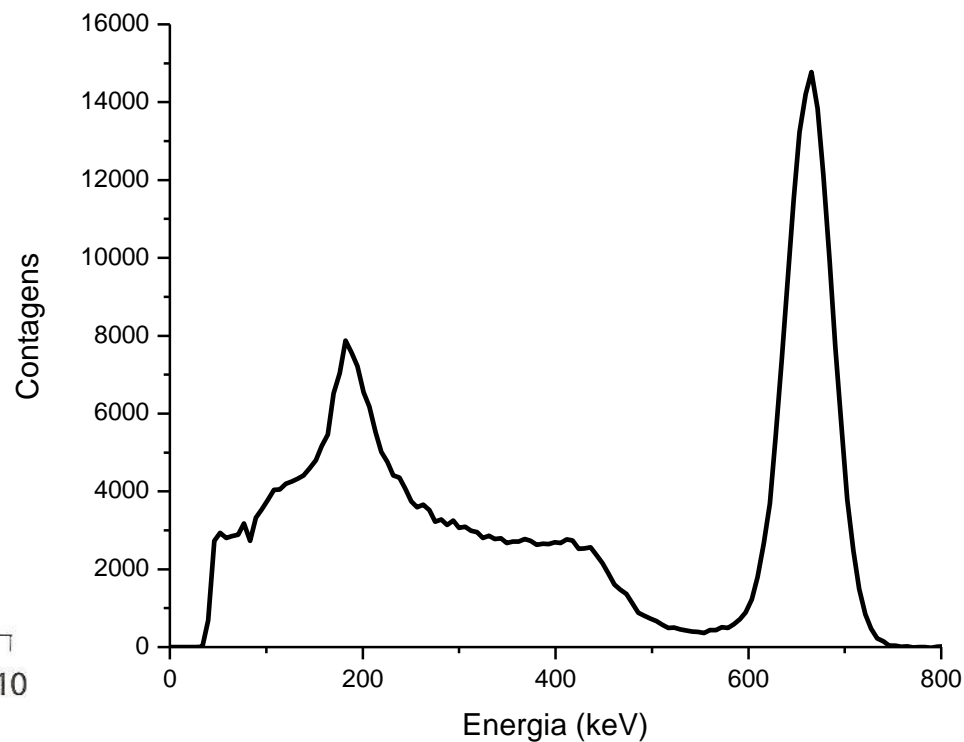
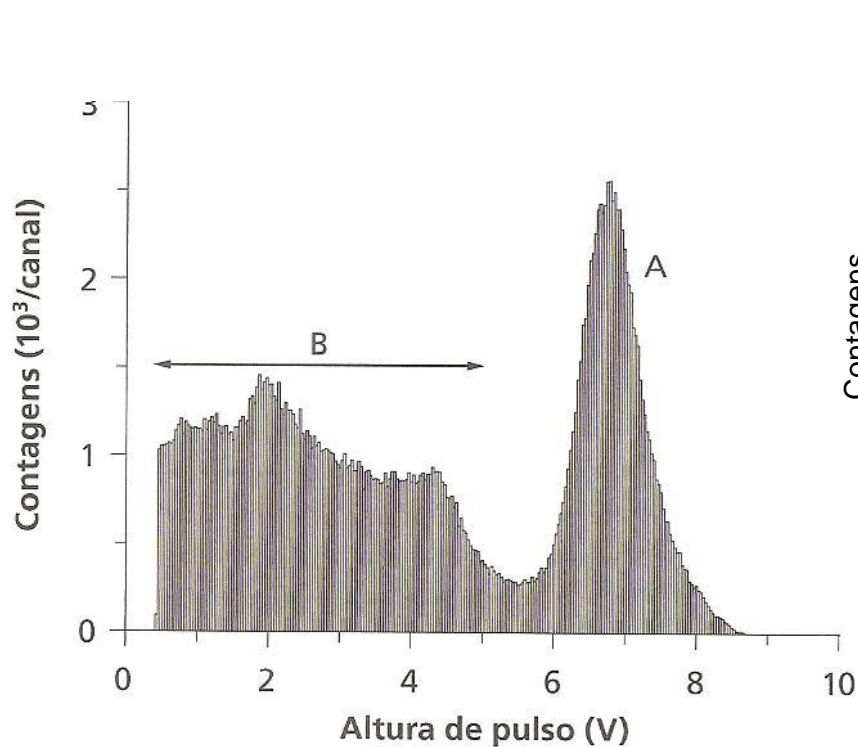
# Detectores semicondutores para espectrometria

- Princípio de operação

- [http://www-physics.lbl.gov/~spieler/SLAC\\_Lectures/PDF/Sem-Det-I.pdf](http://www-physics.lbl.gov/~spieler/SLAC_Lectures/PDF/Sem-Det-I.pdf)
- [http://www-physics.lbl.gov/~spieler/SLAC\\_Lectures/PDF/Sem-Det-II.pdf](http://www-physics.lbl.gov/~spieler/SLAC_Lectures/PDF/Sem-Det-II.pdf)

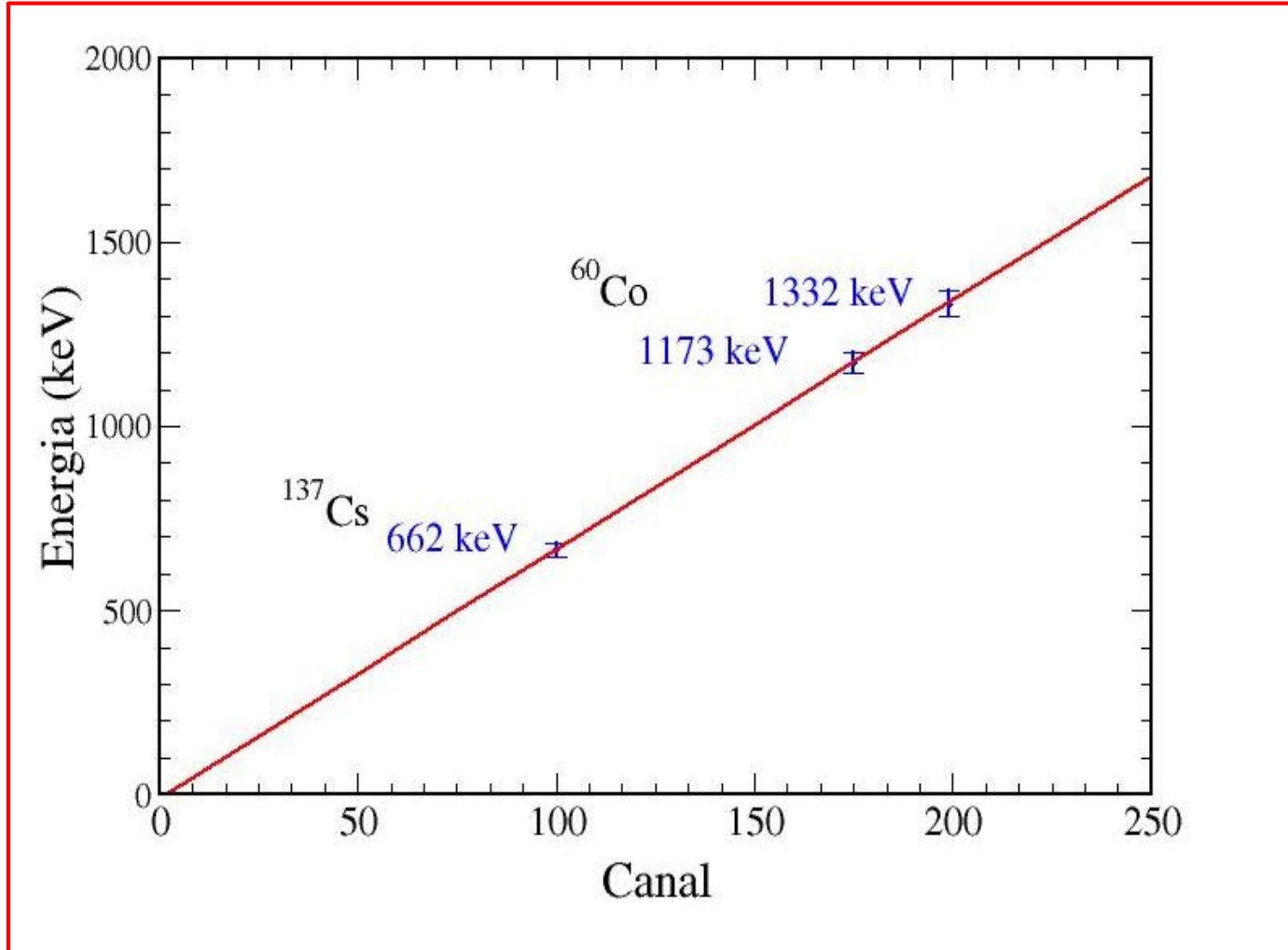
Material	Z	Bandgap [eV]	Mobility [cm <sup>2</sup> /Vs]		Density g/cm <sup>3</sup>
			electrons	holes	
Si	14	1.1	1350	480	2.3
Ge	32	0.7	3800	1800	5.3
Diamond	6	5.5	1800	1200	3.5
GaAs	31-33	1.5	8600	400	5.4
AlSb	13-51	1.6	200	700	4.3
GaSe	31-34	2.0	60	250	4.6
CdSe	48-34	1.7	50	50	
CdS	48-16	2.4	300	15	4.8
InP	49-15	1.4	4800	150	
ZnTe	30-52	2.3	350	110	
WSe <sub>2</sub>	74-34	1.4	100	80	
BiI <sub>3</sub>	83-53	1.7	680	20	
Bi <sub>2</sub> S <sub>3</sub>	83-16	1.3	1100	200	6.7
Cs <sub>3</sub> Sb	55-51	1.6	500	10	
PbI <sub>2</sub>	82-53	2.6	8	2	6.2
Hgl <sub>2</sub>	89-53	2.1	100	4	6.3
CdTe	48-52	1.5	1100	100	6.1
CdZnTe	48-30-52	1.5-2.4			

# Espectros de energia



calibração

# Calibração de energia

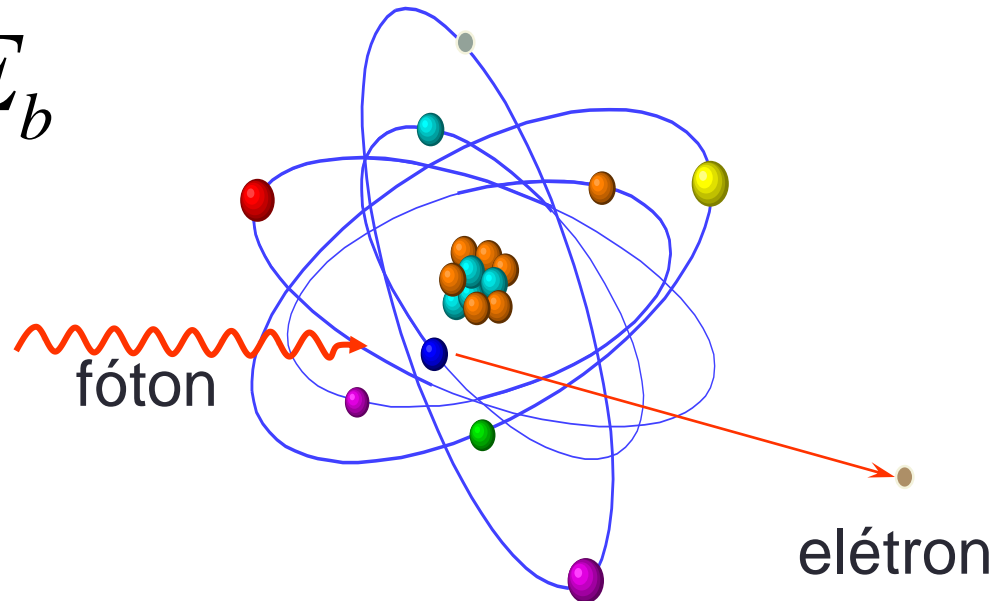


$$E(\text{keV}) = a + b C$$

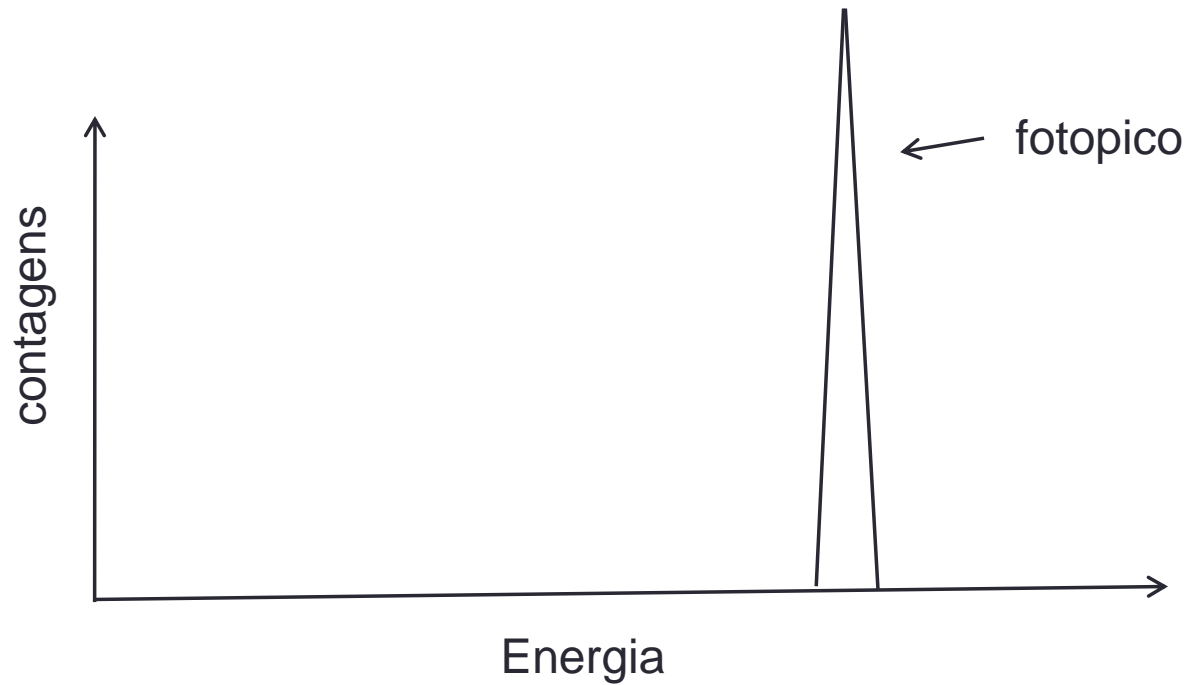
# Deposição total da energia do fóton: efeito fotoelétrico

- Efeito Fotoelétrico
  - Deposição total de energia
  - Elétron colocado em movimento

$$E_{e^-} = h\nu - E_b$$

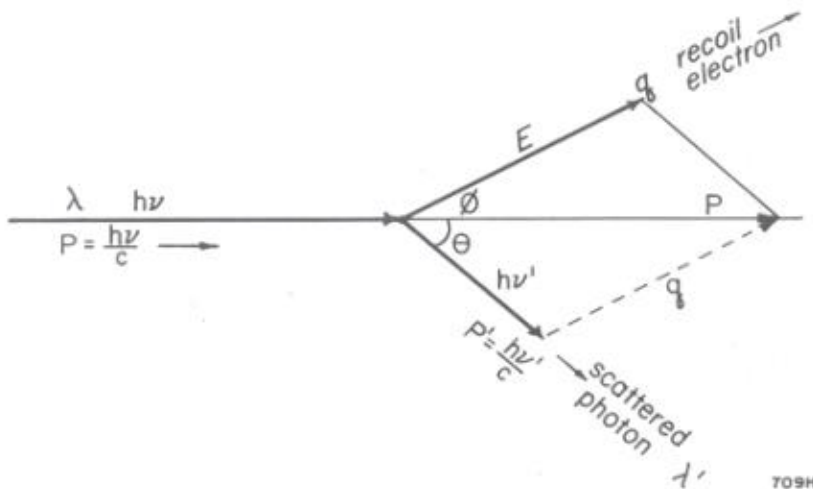
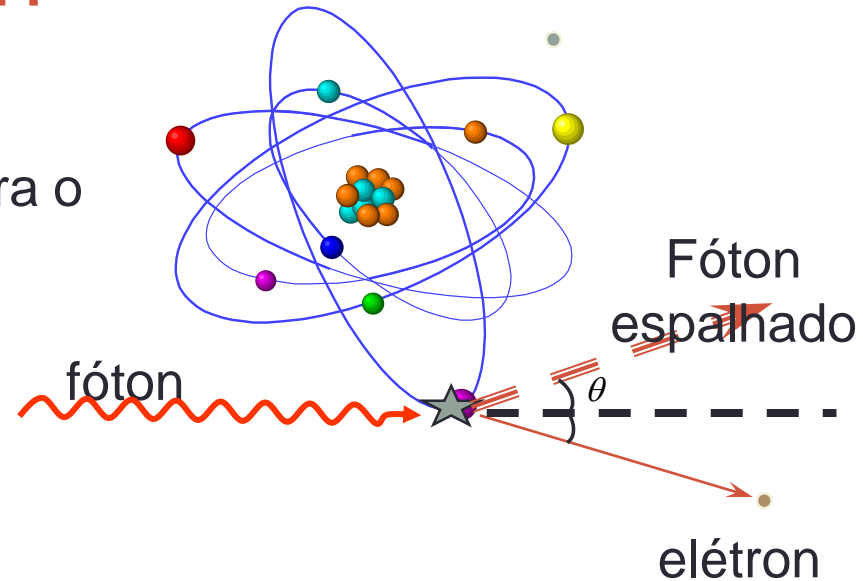


# Deposição total da energia do fóton: efeito fotoelétrico



# Deposição parcial de energia: Espalhamento Compton

- Compton
  - Transferência parcial de energia para o elétron
  - Fóton espalhado residual



$$h\nu' = \frac{h\nu}{1 + \left(\frac{h\nu}{m_0c^2}\right)(1 - \cos\theta)}$$

$$E_{e^-} = h\nu \left[ \frac{\left(\frac{h\nu}{m_0c^2}\right)(1 - \cos\theta)}{1 + \left(\frac{h\nu}{m_0c^2}\right)(1 - \cos\theta)} \right]$$

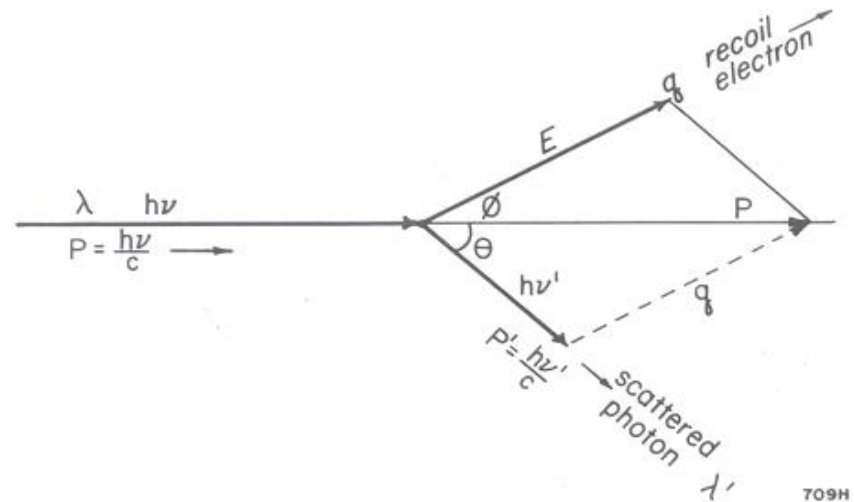
# Deposição parcial de energia: Espalhamento Compton

- Choque frontal

$$\theta \approx \pi \quad \phi \approx 0$$

$$h\nu'_{|\theta=\pi} = \frac{h\nu}{1 + 2\left(\frac{h\nu}{m_0c^2}\right)}$$

$$E_{e^-}_{|\theta=\pi} = h\nu \left[ \frac{2\left(\frac{h\nu}{m_0c^2}\right)}{1 + 2\left(\frac{h\nu}{m_0c^2}\right)} \right]$$



distribuição angular

- Choque leve

$$\theta \approx 0 \quad \phi \approx 90^\circ$$

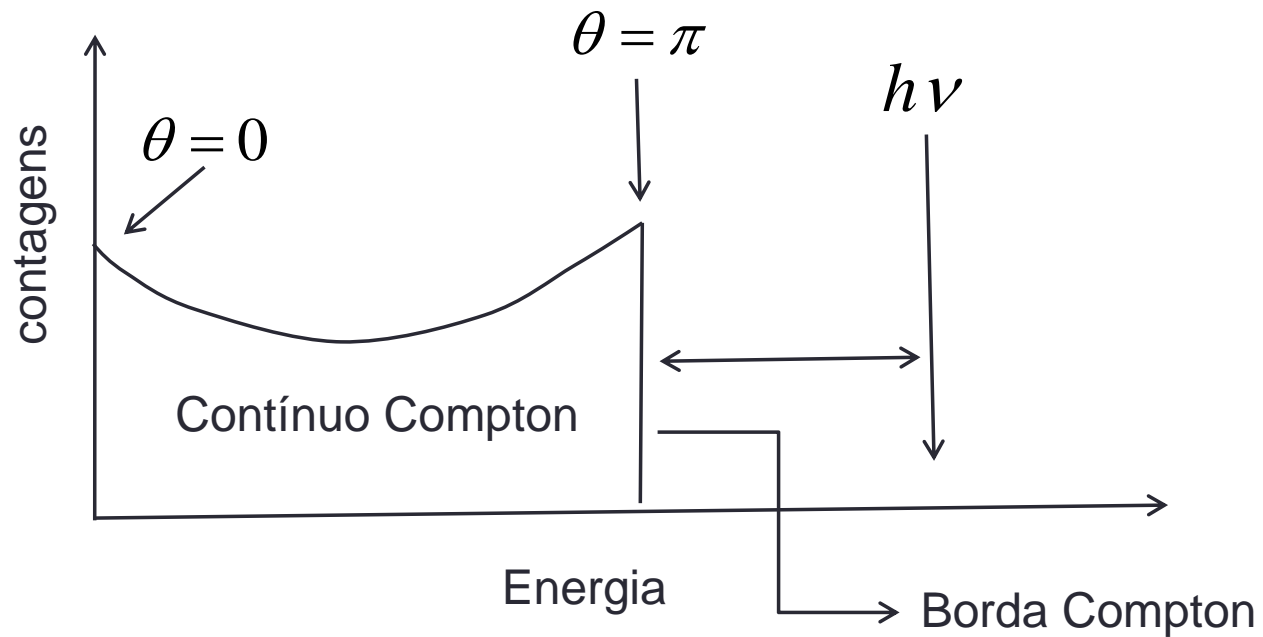
$$E \approx 0$$

$$h\nu' \approx h\nu$$

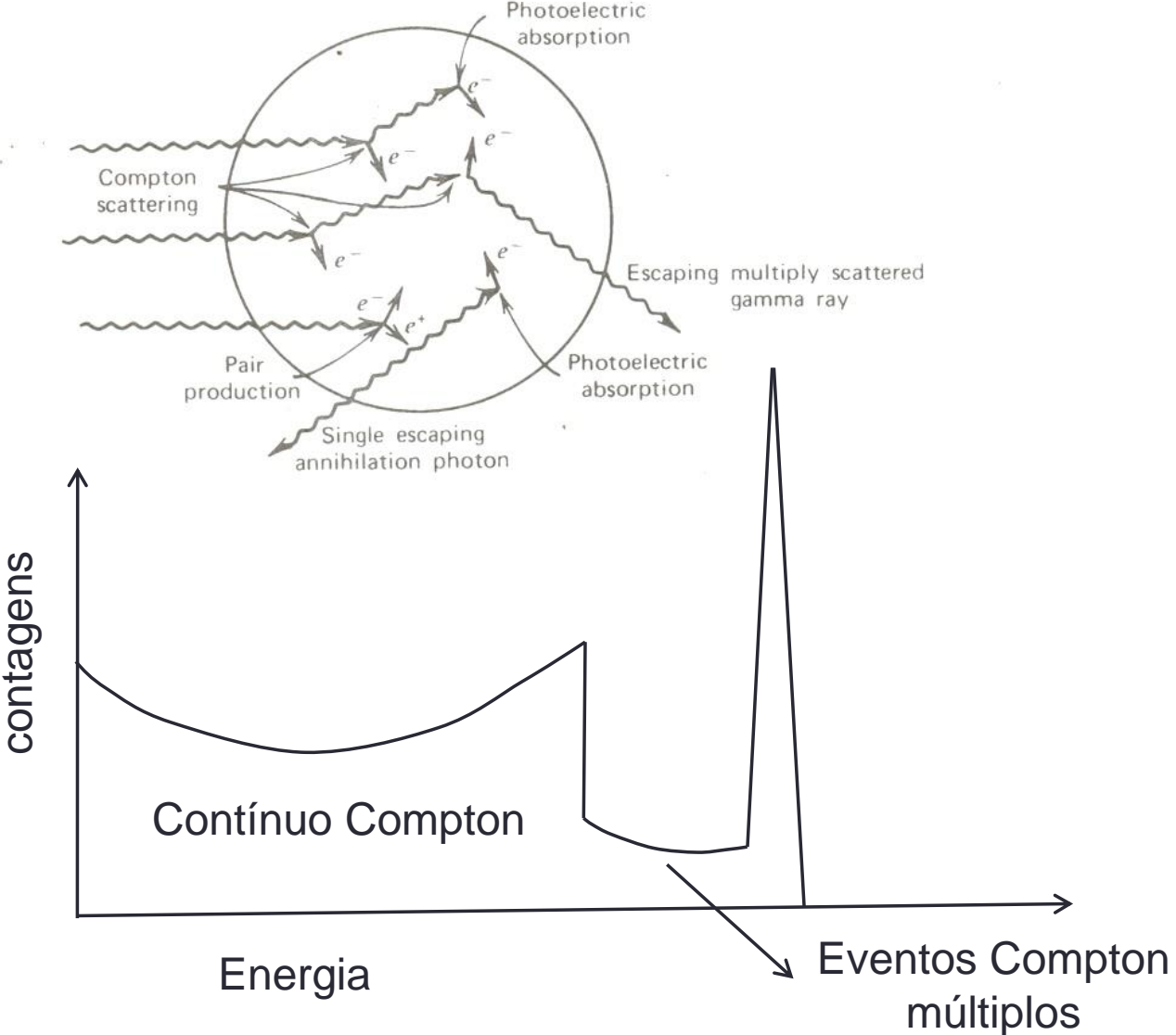
$$0 \leq \theta \leq 180^\circ$$

$$0 \leq \phi \leq 90^\circ$$

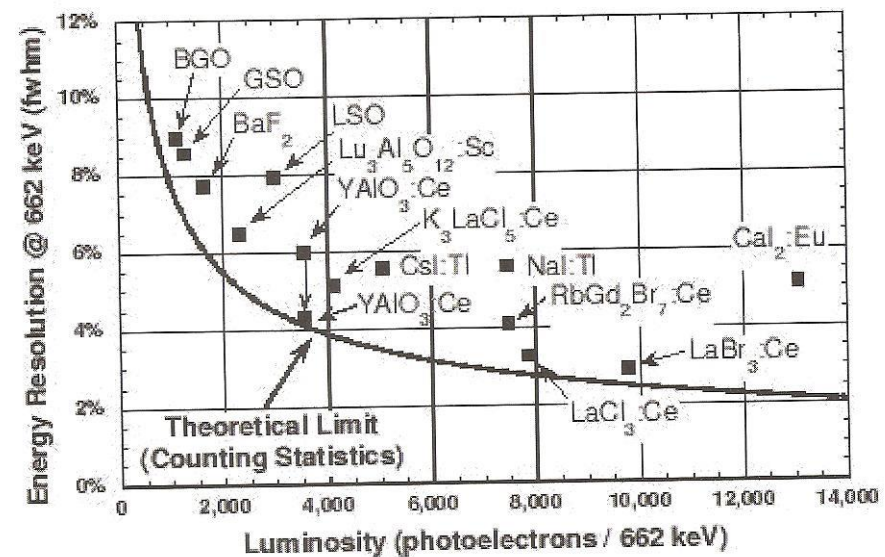
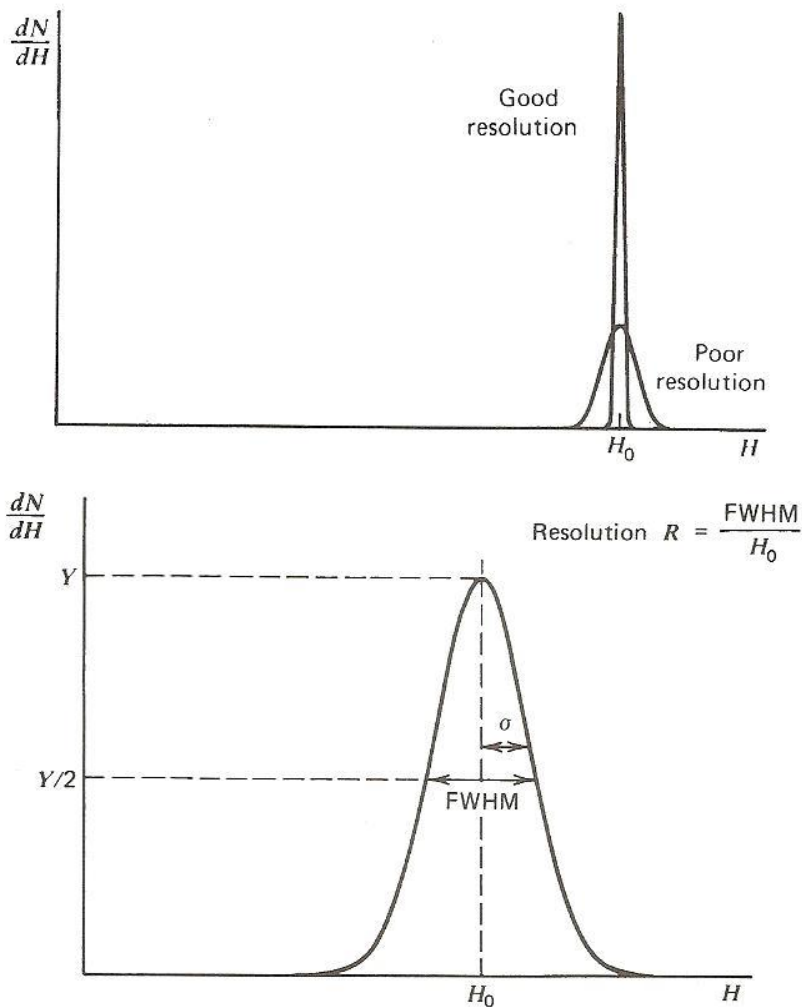
# Borda Compton



# Eventos Compton múltiples

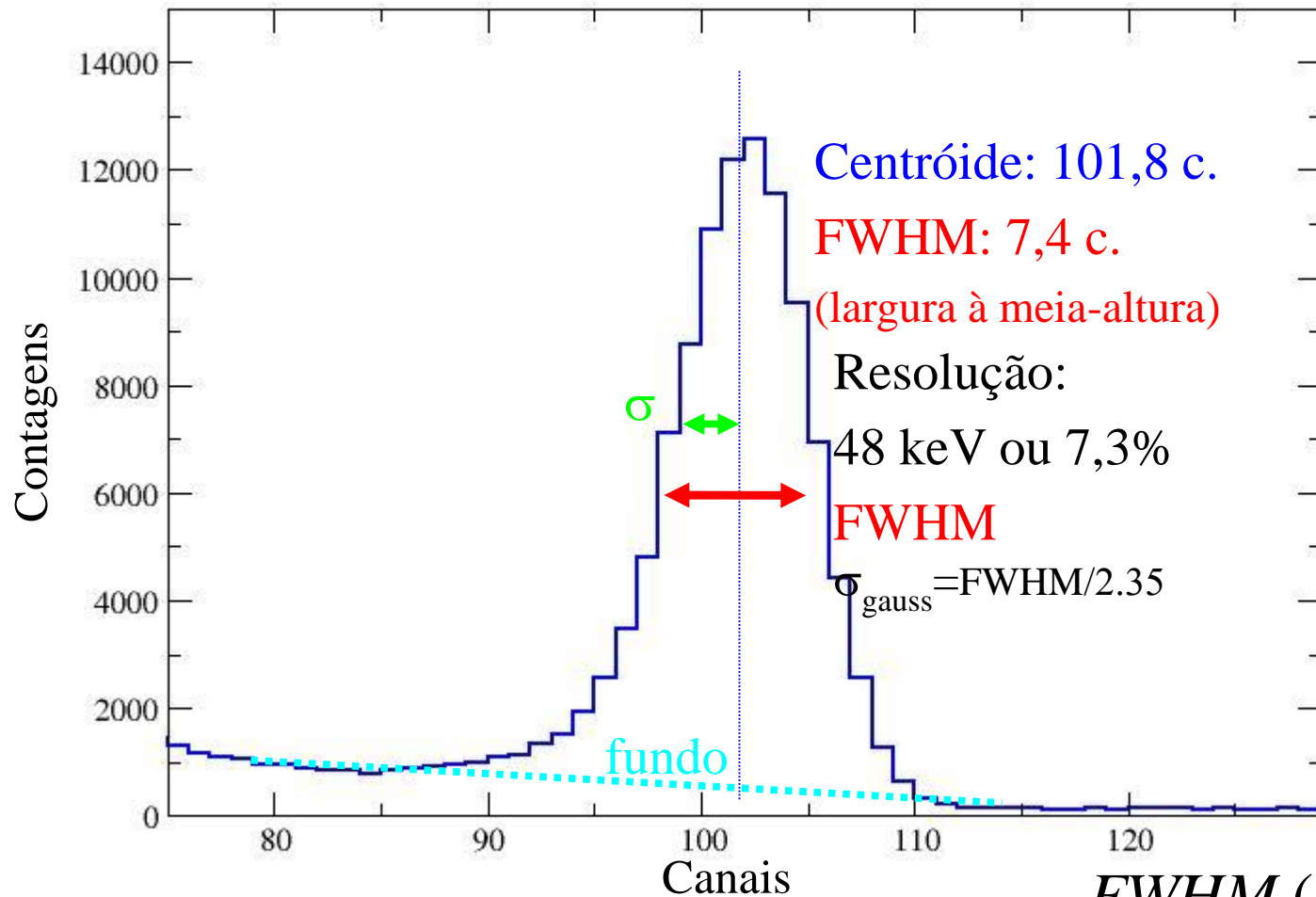


# Produção de luz/cargas vs resolução energética



# Resolução em energia

Ex:  $^{137}\text{Cs}$  - 662 keV

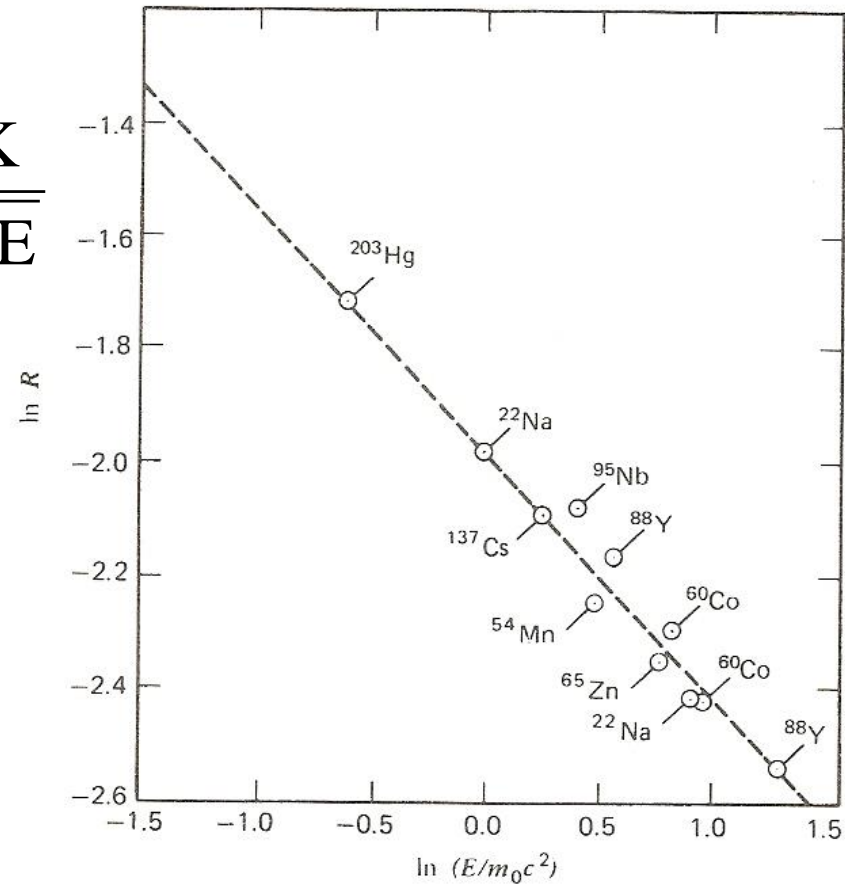


$$R(\%) = \frac{\text{FWHM (keV)}}{\text{Fotopico(keV)}} \times 100$$

# Resolução energética

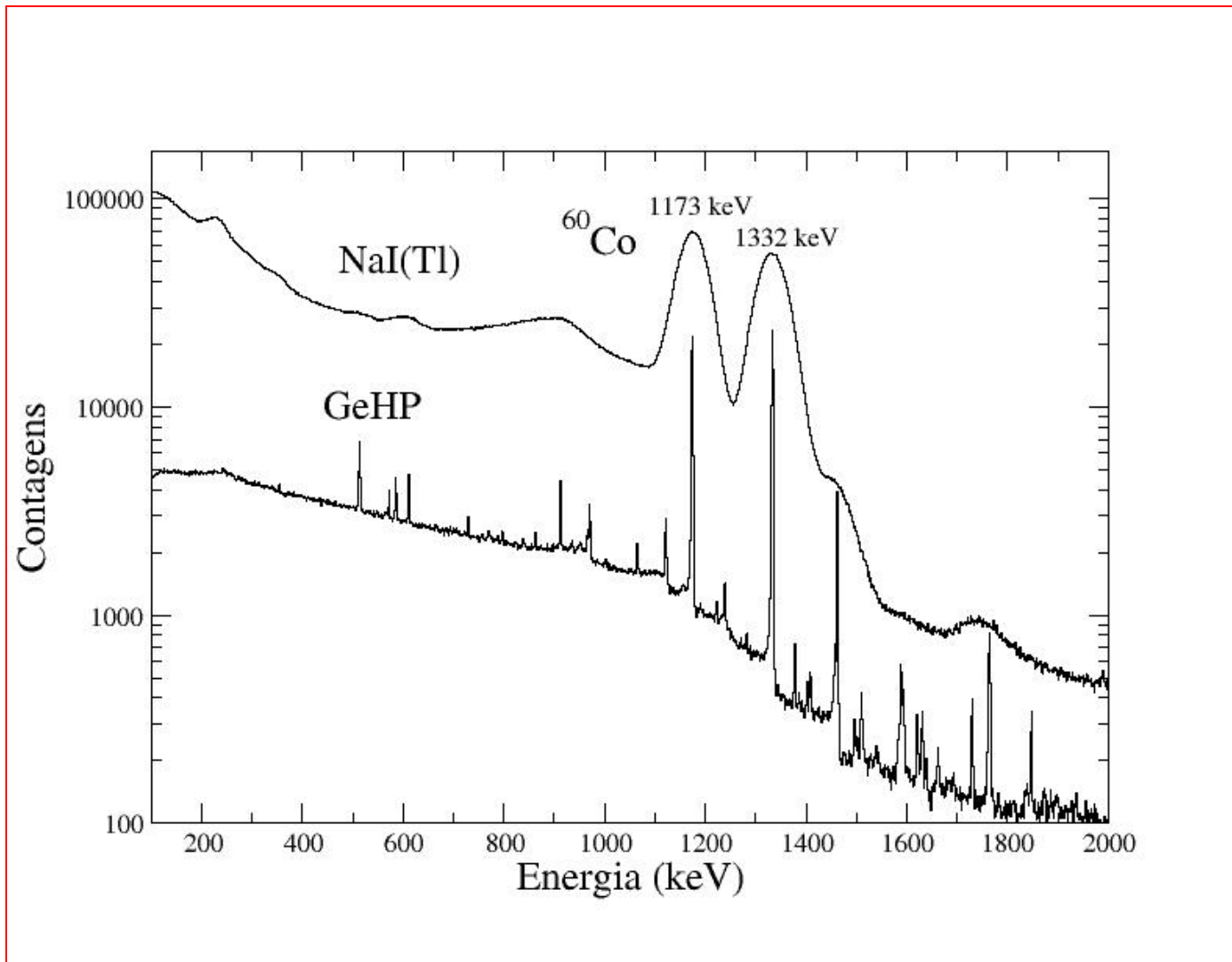
$$R(\%) \equiv \frac{\text{FWHM}}{E_{\text{fotopico}}} = K \frac{\sqrt{E}}{E} = \frac{K}{\sqrt{E}}$$

$$\ln(R) = \ln(K) - \frac{1}{2} \ln(E)$$

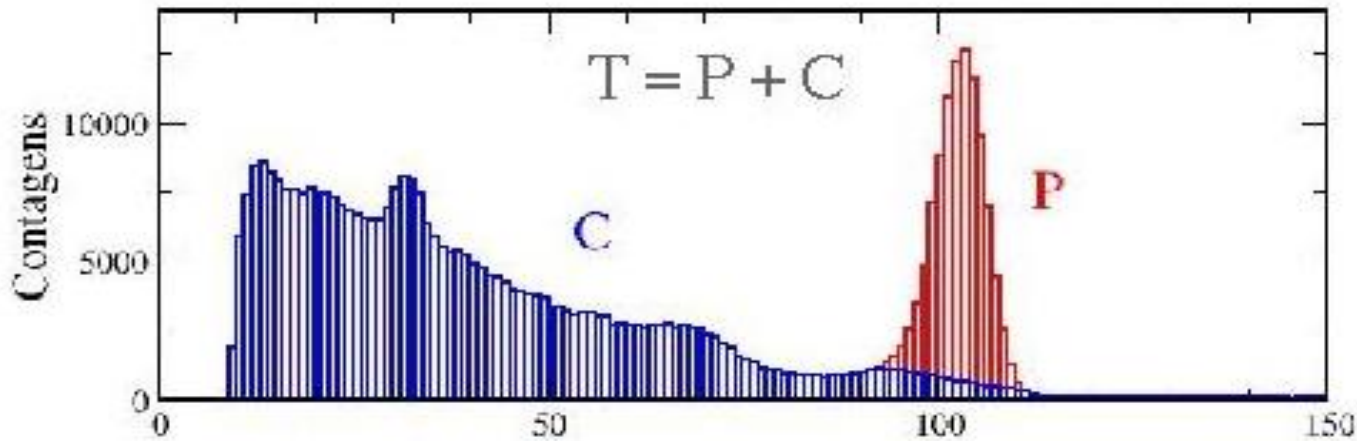


**Figure 10.17** Experimentally measured resolution  $R$  from a NaI(Tl) scintillation detector for various gamma-ray energies  $E$ . (From Beattie and Byrne.<sup>16</sup>)

Espectros de raios  $\gamma$  de uma fonte de  $^{60}\text{Co}$  obtidos com um cintilador de NaI(Tl) e com um detector semiconductor de germânio (GeHP).



# Eficiência de detecção



$$f = \frac{P}{T}$$

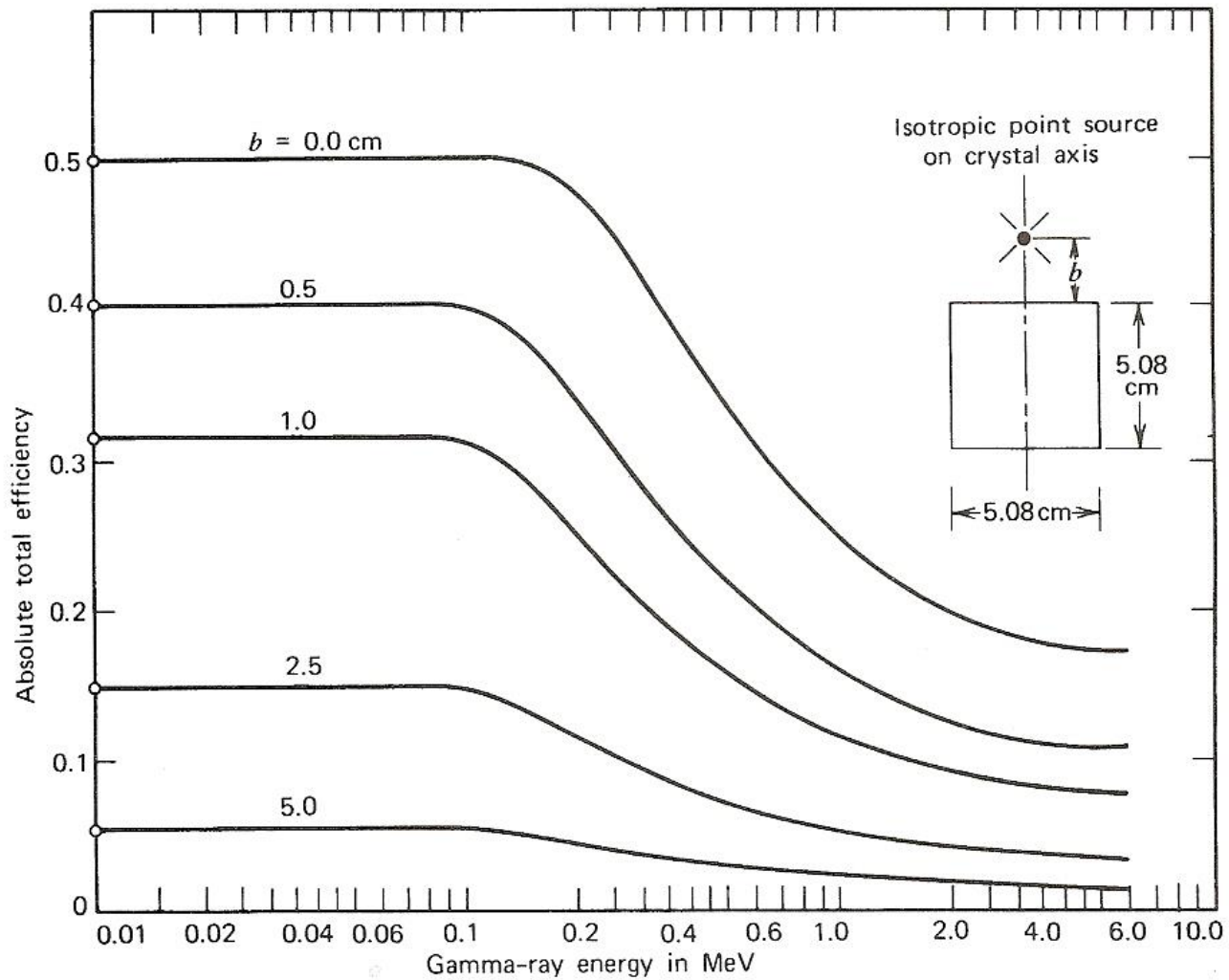
Correção para  
Eficiência do  
detector

$$C_c(E) = \frac{C_b(E)}{e(E)}$$

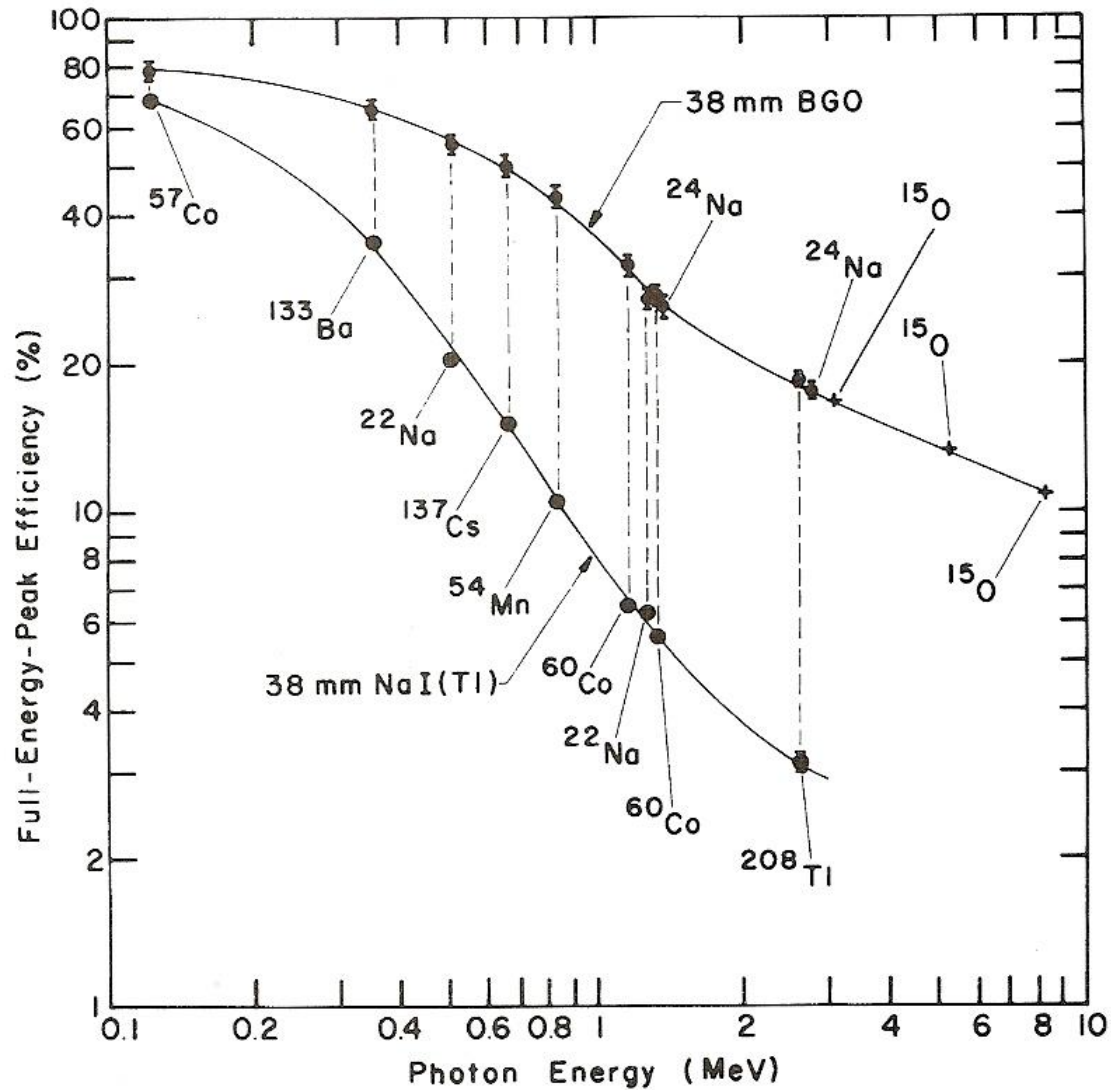
Contagens brutas

Eficiência

Contagens corrigidas



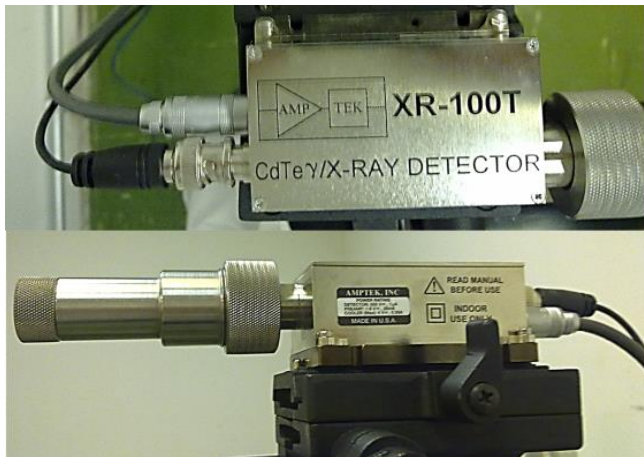
**Figure 10.22** The absolute total efficiency calculated for a 5.08 cm × 5.08 cm solid cylindrical NaI(Tl) scintillator. Different values of the source location are shown. (From Snyder.<sup>28</sup>)



**Figure 10.28** Intrinsic peak efficiencies for BGO and NaI(Tl) scintillators of equal 38 mm  $\times$  38 mm size. Radioisotope sources used for various photon energies are indicated. (From Evans and Orndoff.<sup>40</sup>)

# Metodologia experimental para medições de espectros de raios X em mamografia:

- Espectrômetro de raios X



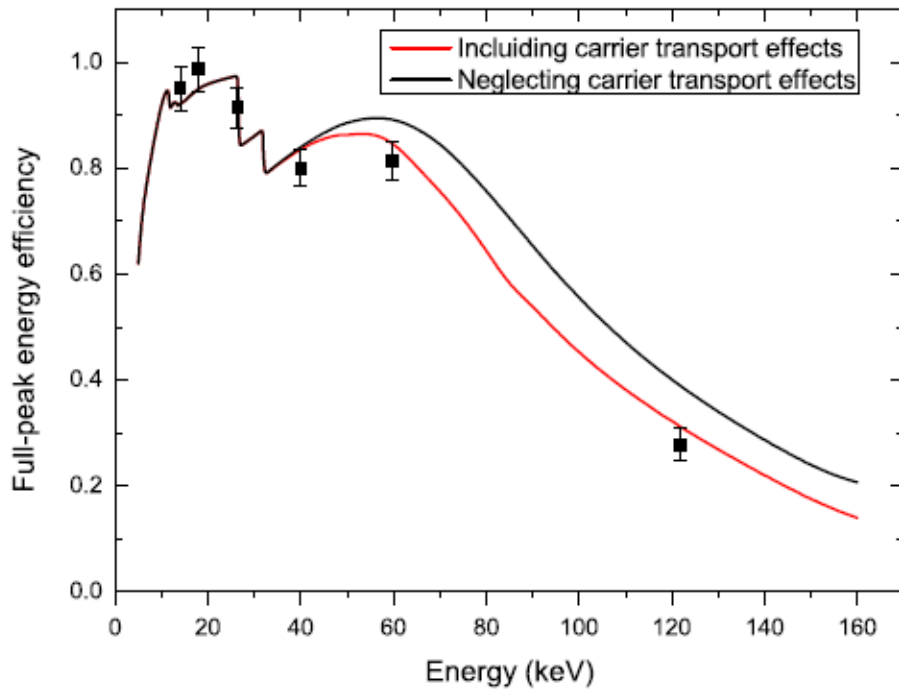


Fig. 3. Simulated and experimental full-energy peak efficiencies for the CdTe detector.

Monte Carlo simulation of the response functions of CdTe detectors to be applied in x-ray spectroscopy

A. Tomal<sup>a,\*</sup>, J.C. Santos<sup>c</sup>, P.R. Costa<sup>c</sup>, A.H. Lopez Gonzales<sup>c</sup>, M.E. Poletti<sup>b</sup>

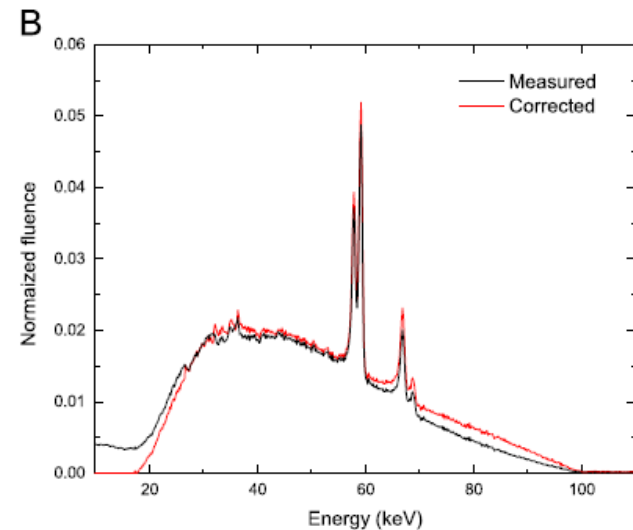
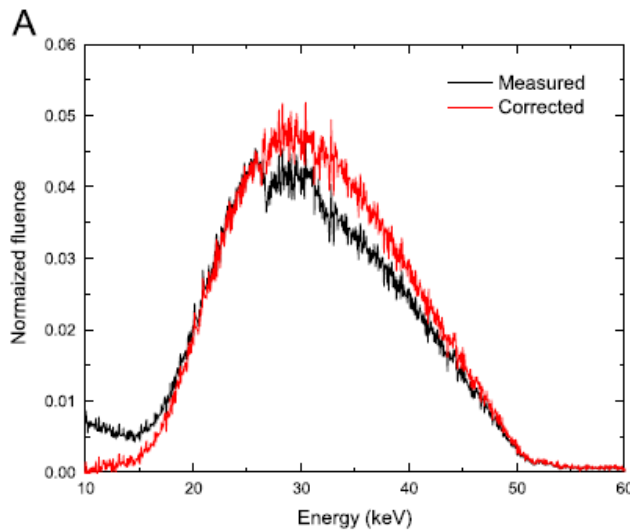
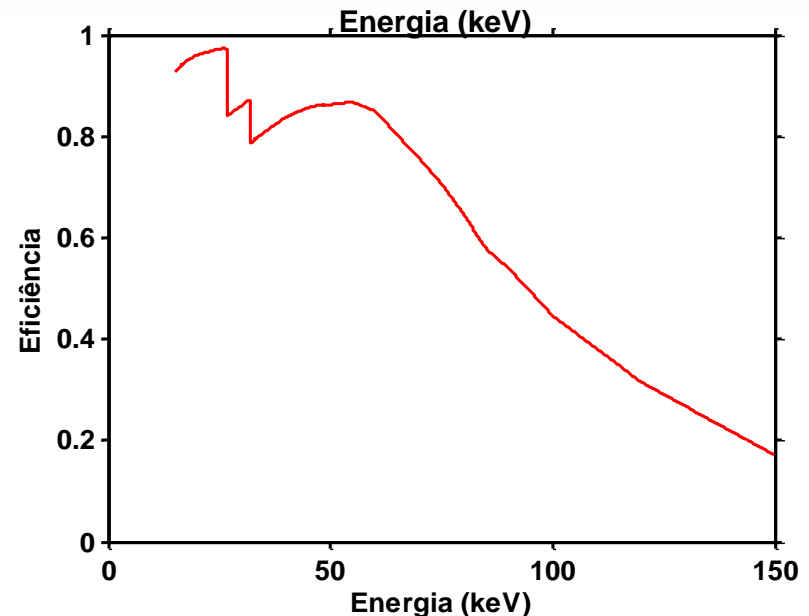
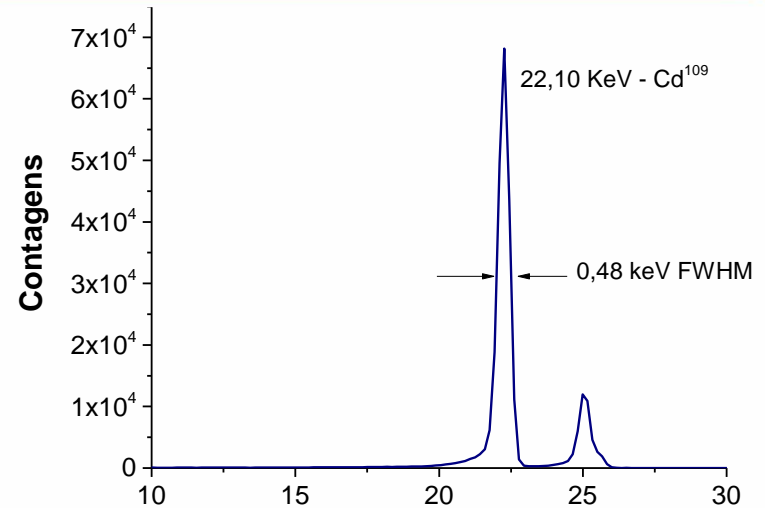


Fig. 5. Measured and corrected x-ray spectra obtained with CdTe detectors for (a) 50 kVp and (b) 100 kVp.



# Espectrômetro de raios X

- Detector de telureto de cádmio (CdTe) de  $9 \text{ mm}^2$
- É um aparelho compacto e não necessita de refrigeração criogênica.
- resfriamento termoelétrico (célula Peltier)
- PX4: processamento, MCA, Interface USB, fonte
- Software ADMCA
- Kit de colimadores de  $25 - 2000 \mu\text{m}$



# DETECTORES DOSIMÉTRICOS

---

# Calorímetro

- Maneira mais direta de avaliar dose
  - Isolamento térmico do material irradiado
    - Toda a energia absorvida foi utilizada para aumentar a energia

**Energia média absorvida**

$$\Delta T = \frac{E_{ab}(1 - \delta)}{mc} = \frac{\bar{D}(1 - \delta)}{c}$$

**Calor específico**

**Dose absorvida média**

**Defeito térmico: Fração da energia absorvida que não se transforma em calor**

# Termoluminescência

- Termoluminescência
  - Emissão de luz após aquecimento
    - Emissão de luz proporcional à dose
    - Fosforescência com tempo de vida muito grande à temperatura ambiente
  - Vantagens
    - Tamanho pequeno
    - Grande faixa dinâmica ( $\mu\text{Gy}$  –  $\text{kGy}$ )
    - Boa repetibilidade

# Termoluminescência

- Exemplos

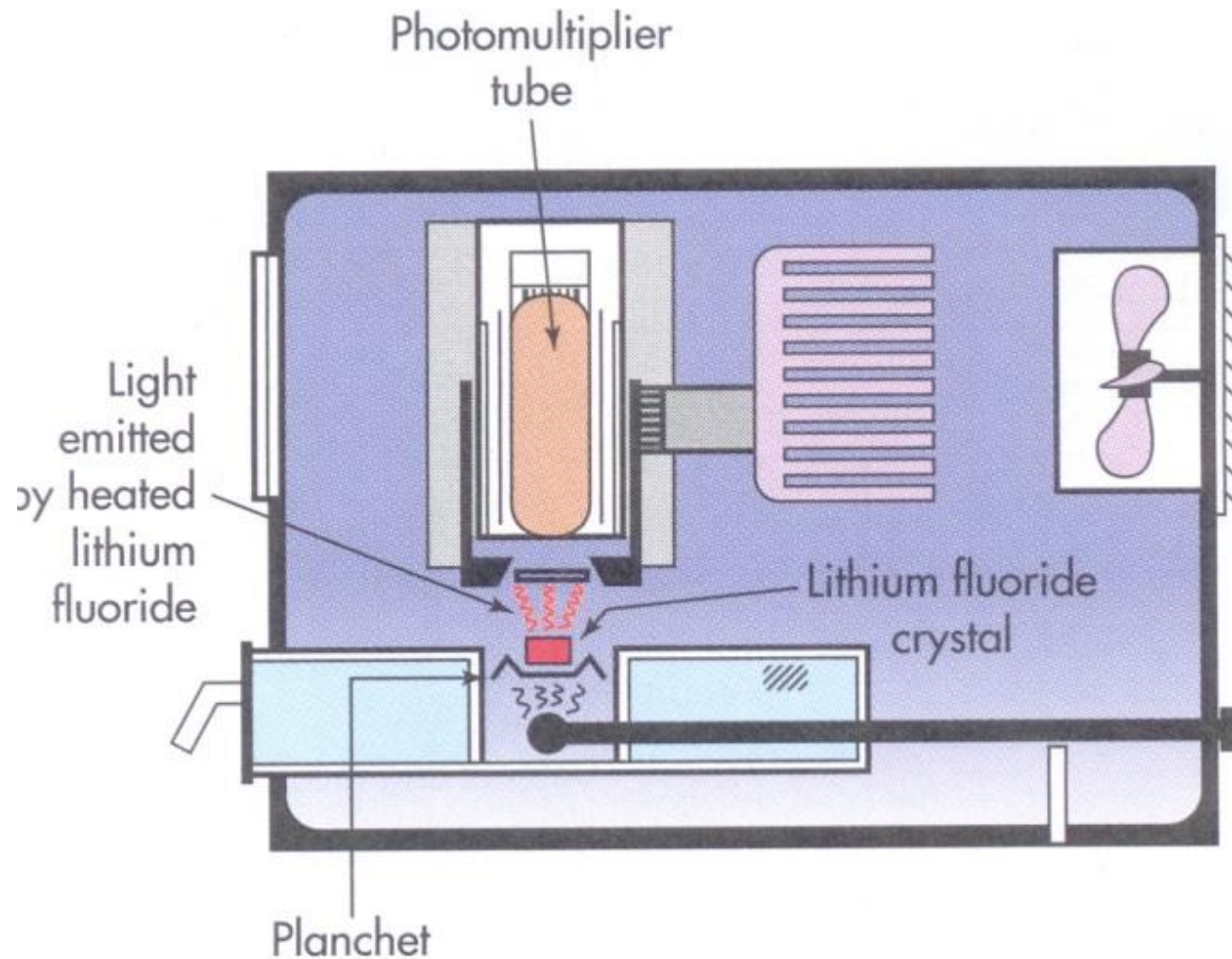
- Fluoreto de Lítio (LiF)
  - Impurezas: Mg, Ti, Cu, P
- Fluoreto de Cálcio (CaF)
- Sulfato de Cálcio (CaSO<sub>4</sub>)

- Aplicações

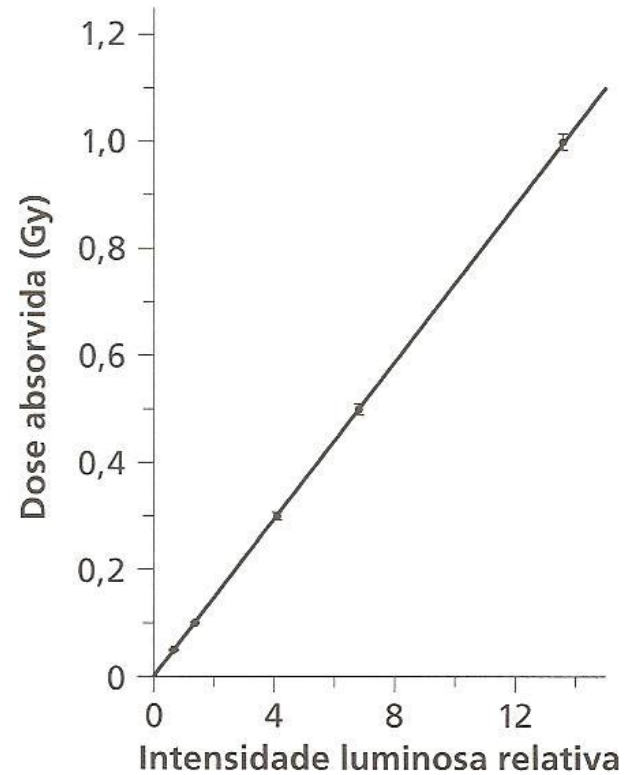
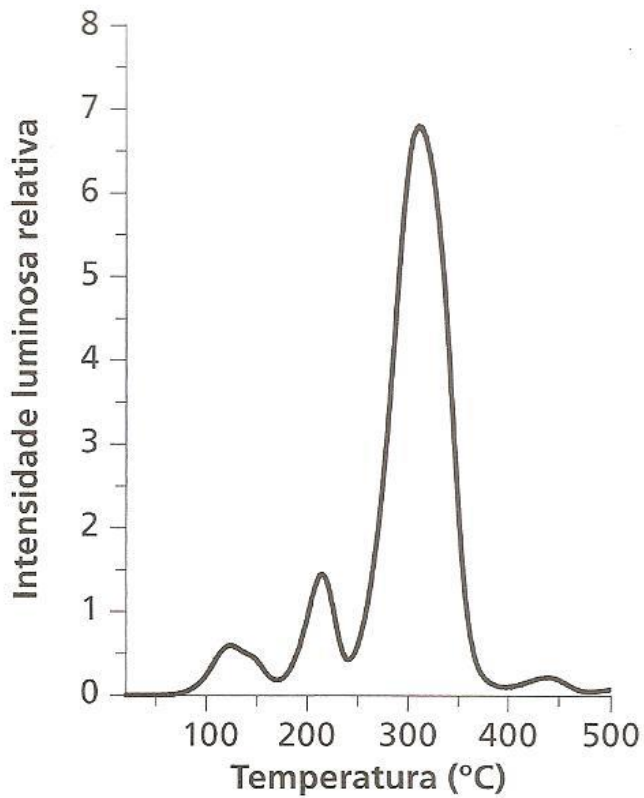
- Monitoração pessoal
- Dosimetria de procedimentos médicos
- Dosimetria ambiental
- Dosimetria industrial



# Termoluminescência

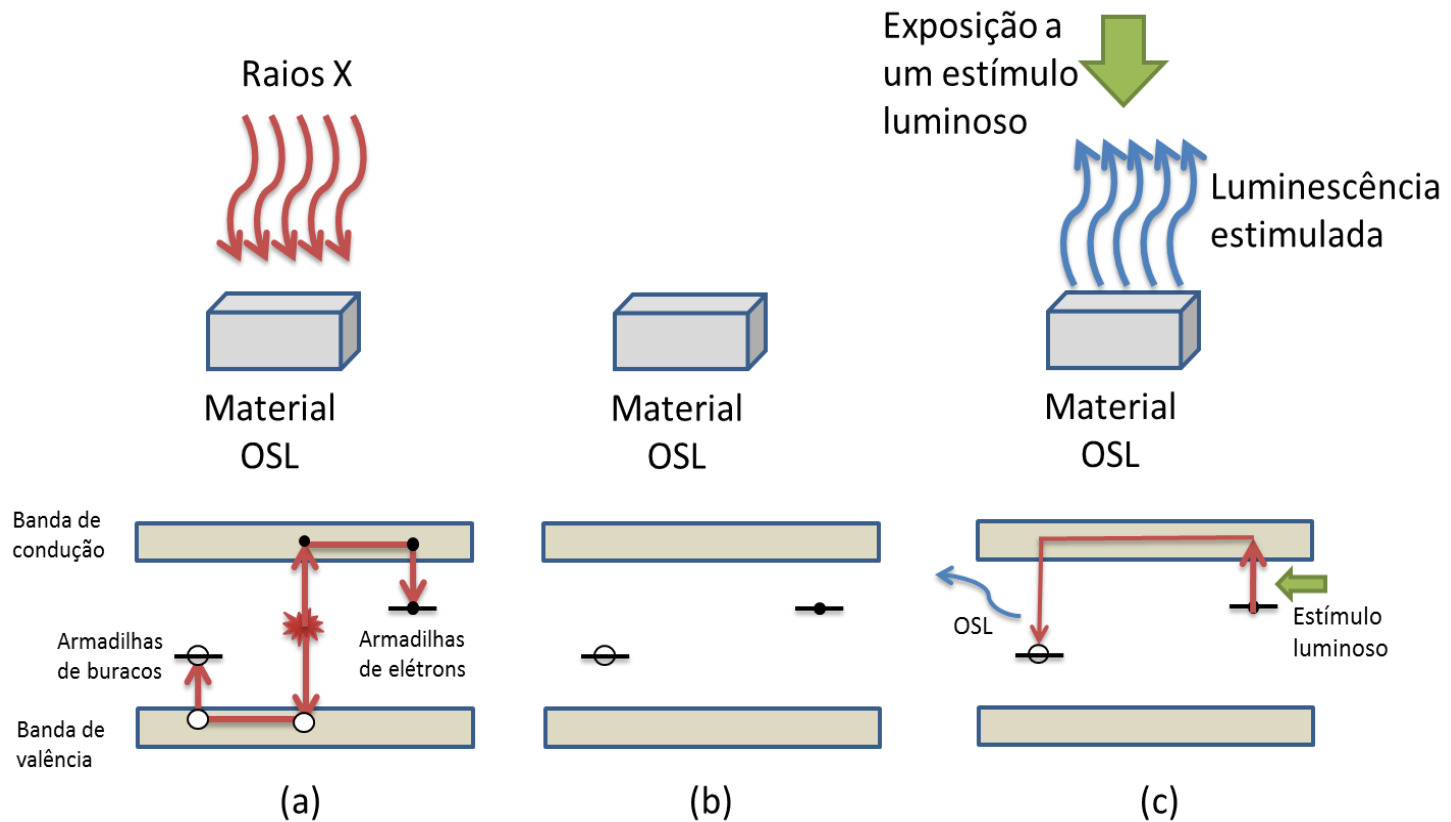


# Termoluminescência



# Luminescência opticamente estimulada

- Usa-se luz ao invés de aquecimento

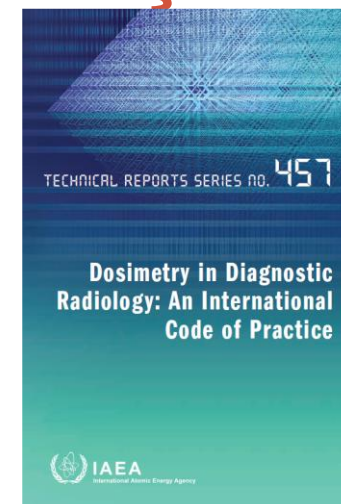


# Ver também

- <http://slideplayer.com/slide/4888351/>
- [https://humanhealth.iaea.org/HHW/MedicalPhysics/TheMedicalPhysicist/Studentscorner/HandbookforTeachersandStudents/Chapter\\_21.pdf](https://humanhealth.iaea.org/HHW/MedicalPhysics/TheMedicalPhysicist/Studentscorner/HandbookforTeachersandStudents/Chapter_21.pdf)

# Correções em câmaras de ionização

$$K = M_Q N_{K,Q_0} \prod_i k_i$$



$N_{K,Q_0}$  : coeficiente de calibración de un LSCD (o LPCD) y alude a las condiciones de referencia,  $Q_0$   $T_0$ ,  $P_0$  etc.

$M_Q$  : la lectura del instrumento en ciertas condiciones, por ejemplo, para  $P$ ,  $T$ , etc. Una medición se lleva a cabo generalmente en condiciones diferentes a las de referencia

$k_i$  : factores de corrección que corrigen el efecto de una magnitud de influencia

# Correções em câmaras de ionização

**RASTREABILIDADE**

**LPCD**



**LSCD**



**Usuario**

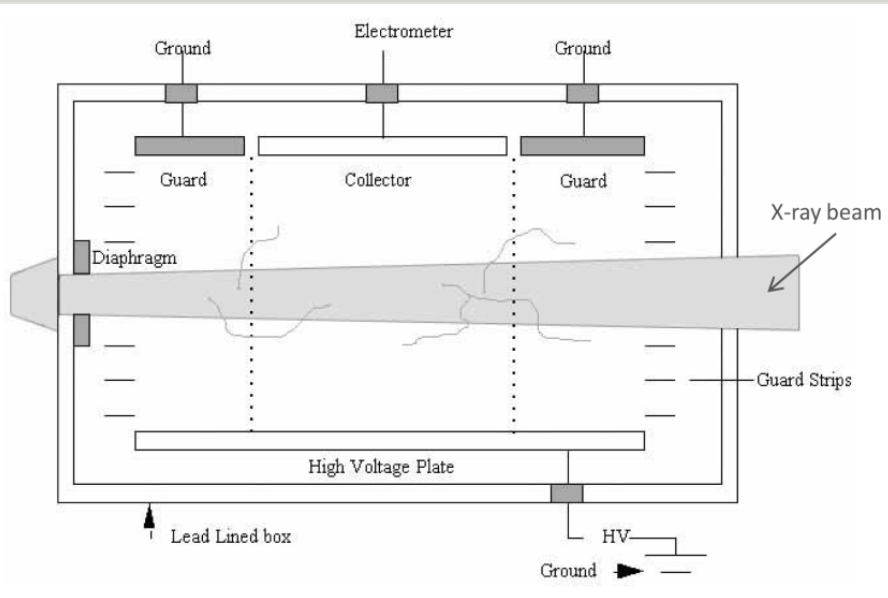
## 21.6. DOSIMETER CALIBRATION

All instruments used for dosimetric measurement in the clinical environment should have a calibration traceable to a recognized dosimetry standard

- The measurement of a dosimetric quantity, such as air kerma, prerequisites that there is a SI that determines the quantity and its unit
- **Primary Standards Dosimetry Laboratories** (PSDLs) employ free air ionization chambers for the measurement of absorbed dose traceable to the fundamental SI absorbed dose unit of Gray (Gy)
- **Secondary Standards Dosimetry Laboratories** (SSDLs) calibrate their reference class instruments at PSDLs and use these as their local dosimetry standards
- Therefore the traceability of the measurements to the specific PSDL is maintained. The main role of the SSDL is to bridge the gap between PSDL and dosimeter user

# 21.6. DOSIMETER CALIBRATION

## 21.6.1. Standard free air ionization chamber



**Free air ionization chambers** are often used by PSDLs as the primary standard for the determination of **air kerma** against which the secondary standard chambers from SSDLs are calibrated

The charge liberated by X rays in the mass of the air inside the chamber volume is measured

The **air kerma** is deduced according to its definition 
$$K = \frac{dE_{tr}}{dm} = \frac{dQW_{air}}{dm}$$

from measurements of **basic physical quantities** (charge and mass) and applying physical constants and relative correction factors

# Correções em câmaras de ionização

## ***Magnitudes de influencia***

Se definen como magnitudes que no son el objeto de la medición pero pueden tener influencia en el resultado de la medición.

*Ejemplos:* energía del haz de rayos X, P, T, tamaño del campo, corriente de fuga del electrómetro, etc.

$k_i$  : corrige el efecto de las magnitudes de influencia; por ejemplo  $k_Q$ ,  $k_{TP}$ ,  
...

## ***Condiciones de referencia***

Las condiciones de referencia representan un conjunto de valores (valores de referencia) de las magnitudes de influencia para el cual, es válido el coeficiente de calibración sin más correcciones

*Ejemplos :*  $P_0 = 101.3$  kPa,  $\theta_0 = 20^\circ\text{C}$ , FCD=100cm, Q=RQR5  
(70kV)

# Correções em câmaras de ionização

Corrección de la densidad del aire,  $k_{TP}$

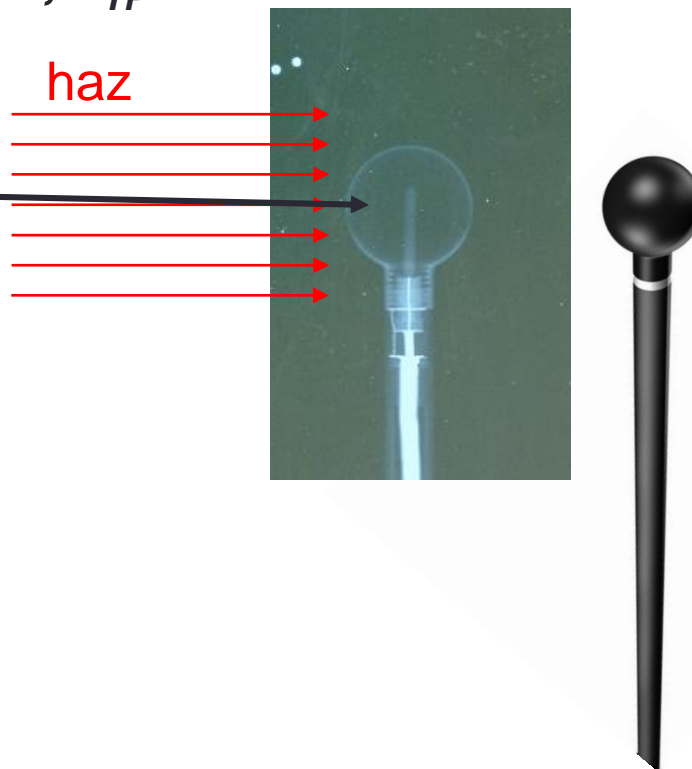
$$K = \frac{\varepsilon}{m}$$

$$P \cdot V = \frac{m}{MW} \cdot R \cdot T$$

$$k_{TP} = \frac{P_0 \cdot T}{P \cdot T_0} = \frac{P_0 \cdot (273.2 + \theta)}{P \cdot (273.2 + \theta_0)}$$

$$P_0 = 101.3 \text{ kPa} = 1 \text{ atm}$$

$$\theta_0 = 20^\circ\text{C} \text{ ó } 22^\circ\text{C}$$

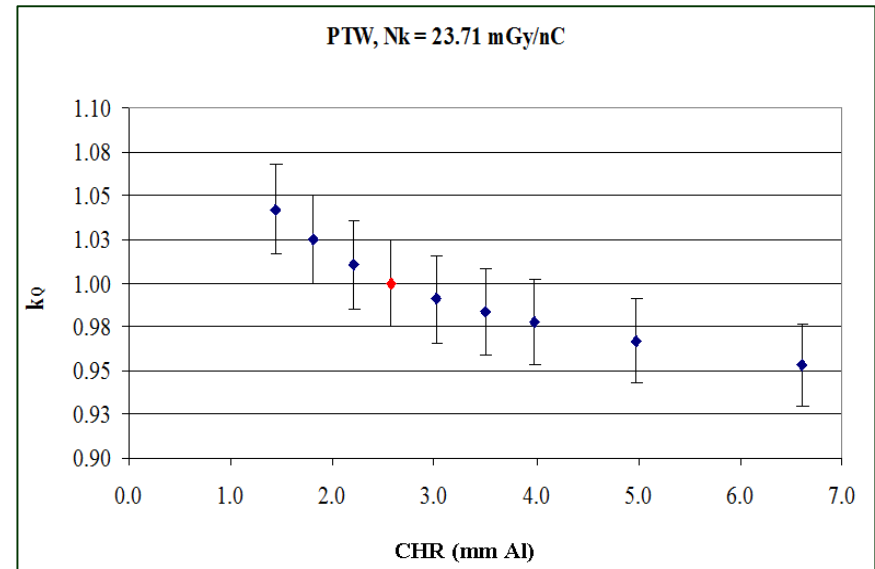
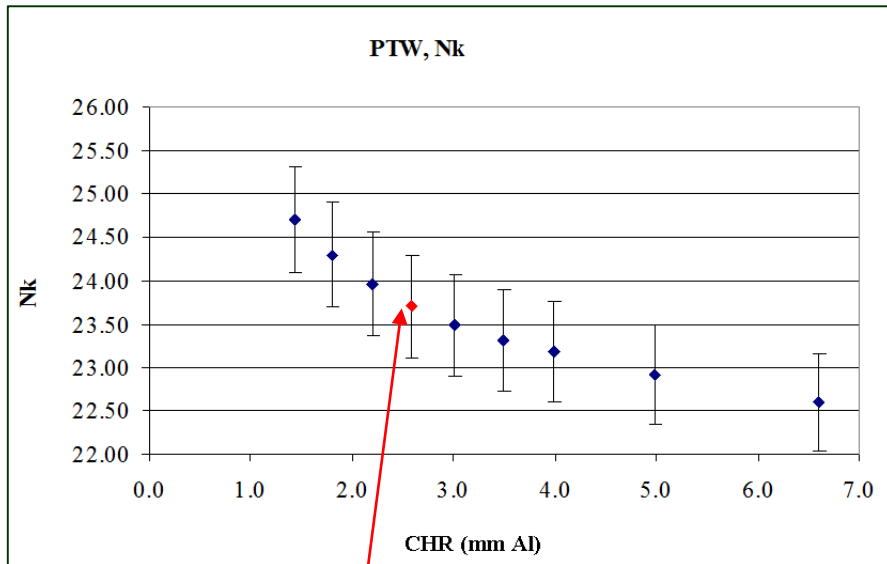


Detectores de estado sólido :  $k_{TP} = 1$

Cámaras selladas (¿?):  $k_{TP} = 1$

# Correções em câmaras de ionização

## Corrección de la calidad del haz, $k_Q$



$$K_Q = M_Q N_{K,Q} k_{Q,Q_0}$$

$$k_{Q,Q_0} = \frac{N_{K,Q}}{N_{K,Q_0}} (= k_Q)$$

donde el factor  $k_{Q,Q_0}$  corrige los efectos de la diferencia entre la calidad del haz de referencia,  $Q_0$ , y la calidad real,  $Q$ , durante la medición

# Correções em câmaras de ionização

## **Otras correcciones de las magnitudes de influencia**

$k_s$  : por las pérdidas por saturación o recombinación de iones

$k_{dist}$  : por la desviación de la ubicación de la cámara de la ubicación de referencia

$k_{lin}$  : por la no linealidad de la sensibilidad del conjunto de medición

$k_{dir}$  : por la dirección de la radiación incidente

$k_{emc}$  : por el efecto de la compatibilidad electromagnética

$k_{fs}$  : por la desviación del tamaño /homogeneidad del haz de las condiciones de referencia

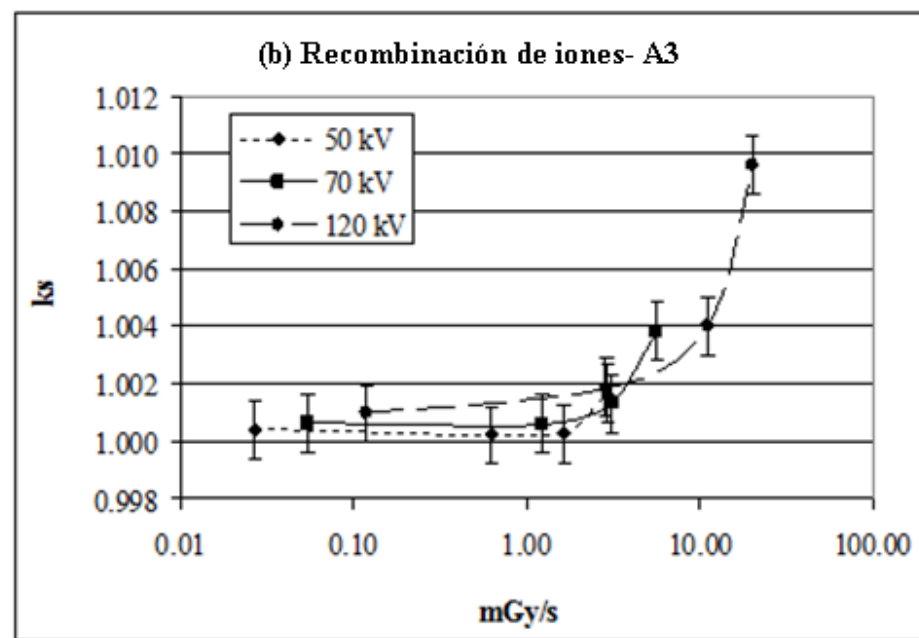
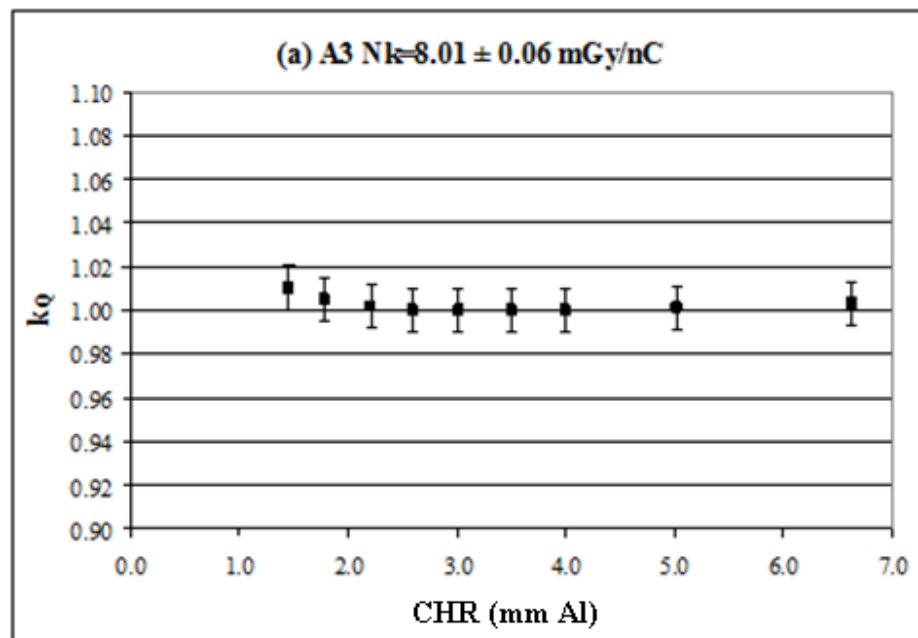
$k_{lt}$  : por variaciones a largo plazo de la respuesta

$k_{ms}$  : por la dependencia del instrumento de la fuente de potencial (redes o batería)

$$K = M_Q \cdot k_{TP} \cdot N_{K,Q_0} \cdot \prod_i k_i \quad \prod_i k_i = k_Q \cdot \overbrace{k_s k_{dist} k_{lin} k_{dir} k_{emc} k_{fh} k_{lt} k_{ms}}^1$$

contribución a las  
incertidumbres

## Correções em câmaras de ionização



**Dependencia energética de la respuesta**

**Coefficiente de saturación**

## 21.6. DOSIMETER CALIBRATION

All instruments used for dosimetric measurement in the clinical environment should have a calibration traceable to a recognized dosimetry standard

- The measurement of a dosimetric quantity, such as air kerma, prerequisites that there is a SI that determines the quantity and its unit
- **Primary Standards Dosimetry Laboratories (PSDLs)** employ free air ionization chambers for the measurement of absorbed dose traceable to the fundamental SI absorbed dose unit of Gray (Gy)
- **Secondary Standards Dosimetry Laboratories (SSDLs)** calibrate their reference class instruments at PSDLs and use these as their local dosimetry standards
- Therefore the traceability of the measurements to the specific PSDL is maintained. The main role of the SSDL is to bridge the gap between PSDL and dosimeter user

## 21.6. DOSIMETER CALIBRATION

### 21.6.2. SSDL calibration

Most SSDLs apply the **substitution method** for the dosimeter calibration

At a given beam quality,  $Q$ , the true value of **air kerma**  $K_Q^{true}$  is measured using the reference dosimeter

The **reference point** of the user's dosimeter is placed at the same point and the dosimeter's reading is used to derive the **calibration coefficient** from the ratio

$$N_{K,Q}^{user} = \frac{K_Q^{true}}{M_Q^{user}}$$

$M_Q^{user}$  is the reading of the user's instruments corrected for air density

## 21.6. DOSIMETER CALIBRATION

### 21.6.2. SSDL calibration

The calibration of the diagnostic radiology dosimeters are performed at the radiation qualities which are described in the **IEC 61267 standard** and which are produced using appropriate tube filtration at the specified tube voltage

Depending on the application of the dosimeter, a series of different beam qualities are used. For example: series

- **RQR** simulates the primary beams incident on the patient
- **RQT**, the beam qualities used in CT
- **RQA**, the transmitted radiation qualities through the patient
- **RQR-M**, mammography beams

Each series consists of several beams with different combinations of tube voltage and filtration

# 21.6. DOSIMETER CALIBRATION

## 21.6.2. SSDL calibration

Characterization of Radiation Quality Series RQR (according to IEC 61267, 2005) used for unattenuated beams for General Radiography Applications Spectra are for an X ray tube with a W target and Al filters

Radiation Quality	X ray Tube Voltage (kV)	First HVL (mm Al)	Homogeneity coefficient (h)
RQR 2	40	1.42	0.81
RQR 3	50	1.78	0.76
RQR 4	60	2.19	0.74
RQR 5 *	70	2.58	0.71
RQR 6	80	3.01	0.69
RQR 7	90	3.48	0.68
RQR 8	100	3.97	0.68
RQR 9	120	5.00	0.68
RQR 10	150	6.57	0.72

\*This quality is generally selected as the reference of the RQR series

## 21.6. DOSIMETER CALIBRATION

### 21.6.2. SSDL calibration

Characterization of Radiation Quality Series RQR-M (according to IEC 61267, 2005) used for unattenuated beams for Mammography Applications. Spectra are for an X ray tube with a Mo target / Mo filter

Radiation Quality	X ray Tube Voltage (kV)	First HVL (mm Al)
RQR-M 1	25	0.28
RQR-M 2 *	28	0.31
RQR-M 3	30	0.33
RQR-M 4	35	0.36

\* This quality is generally selected as the reference of the RQR-M series

## 21.6. DOSIMETER CALIBRATION

### 21.6.2. SSDL calibration

Characterization of Radiation Quality Series RQT (according to IEC 61267, 2005) used for unattenuated beams for Computed Tomography (CT). Applications Spectra are for an X ray tube with a W target and Al and Cu filters

Radiation Quality	X ray Tube Voltage (kV)	First HVL (mm Al)
RQT 8	100	6.90
RQT 9 *	120	8.40
RQT 10	150	10.1

\* This quality is generally selected as the reference of the RQT series

## 21.6. DOSIMETER CALIBRATION

### 21.6.2. SSDL calibration

A general purpose dosimeter should be calibrated in terms of air kerma at the RQR (RQR 2 to RQR 10) radiation qualities

- According to common practice, the calibration coefficient,  $N_K$  of a dosimeter is obtained at the RQR 5 (70 kV)
- For the other radiation qualities of the RQR series, further correction factors ( $k_Q$ ) are provided to take into account the energy dependence of the dosimeter response
- For a given radiation quality  $Q$ ,  $k_Q$  is defined as the ratio of the calibration coefficients at radiation quality  $Q$  to that at the radiation quality RQR 5
- By definition  $k_Q$  equals 1 at RQR 5
- For mammography the standard beam quality is the RQR-M2 (28 kV) and for CT the RQT 9 (120 kV)

